**514** | Februar 1991

# SCHRIFTENREIHE SCHIFFBAU

**Hubertus von Selle** 

Gestaltung und Festigkeit unter Wasser geschweißter Dopplungen



# Gestaltung und Festigkeit unter Wasser geschweißter Dopplungen

Hubertus von Selle, Hamburg, Technische Universität Hamburg-Harburg, 1991

ISBN: 3-89220-514-0

© Technische Universität Hamburg-Harburg Schriftenreihe Schiffbau Schwarzenbergstraße 95c D-21073 Hamburg

http://www.tuhh.de/vss

# INSTITUT FÜR SCHIFFBAU DER UNIVERSITÄT HAMBURG Bericht Nr. 514

# Gestaltung und Festigkeit unter Wasser geschweißter Dopplungen

von

Hubertus von Selle

Februar 1991

Diese Arbeit entstand während meiner Tätigkeit am Institut für Schiffbau der Universität Hamburg (IfS).

Die Untersuchungen wurden im Rahmen der Hochschulzusammenarbeit zwischen dem IfS und dem GKSS-Forschungszentrum Geesthacht GmbH durchgeführt.

#### Ich danke den Professoren

Prof. Dr.-Ing H. Petershagen

Prof. Dr.-Ing H.G. Schafstall

Prof. Dr.-Ing E. Lehmann

für die Unterstützung bei der Erstellung dieser Arbeit

# <u>Inhaltsverzeichnis</u>

1	Einl	eitung	. 2
2	Unte 2.1 2.2	rsuchungen am Hydrophonhalter  Versuchsdurchführung und Versuchsergebnisse  Finite Element Berechnungen und	
	2.2	Vergleich mit der Messung	. 7
3	Flickenschweißung 8		
	3.1	Durchführung der Reparatur	. 9
	3.2	Schwingfestigkeitsversuch	10
	3.3	Versuchsmodell für Dehnungsmessungen	13
	3.4	Bewertung der Flickenschweißung nach DIN 15018 .	15
	3.5	Lineare Schadensakkumulationsrechnung	16
4	Parameteruntersuchungen an der Flickenform		21
	4.1	Parameter	22
	4.2	Rechenmodell	23
	4.3	Ergebnisse	24
5		luß der Nahtform auf die Lebensdauer	
	5.1	,	
	5.2	Boundary Element Modell	
	5.3	Ergebnisse	32
6	Zusa	mmenfassung und Folgerungen	37
7	T 3 1		2.0

# 1 Einleitung

Offshore-Strukturen werden -wie Schiffe und einige Stahlstrukturen an Land- nicht nur statisch belastet, sondern auch wechselnden Betriebsbeanspruchungen ausgesetzt.

Bei schwimmenden bzw. bei im Wasser festgegründeten Strukturen sind hierzu in erster Linie Seegangslasten, aber auch Be- und Entladevorgänge zu nennen.

Die Betriebfestigkeit solcher Bauwerke ist von großer Bedeutung, die sich auch in den Empfehlungen und Richt-linien zum Bau von Strukturen an Land (z.B. /1/ und /2/), zum Bau von Schiffen (z.B. /3/), und zum Bau von meerestechnischen Einrichtungen (z.B. /4,5,6/)) widerspiegelt.

Während des Betriebs von Offshore-Bauwerken können durch Betriebsbeanspruchung Schwingrisse in der tragenden Werden Rohrkonstruktion sie entstehen. rechtzeitig erkannt, so können sie im Rahmen der Reparatur Bauwerks mit Hilfe aufgeschweißter Flicken (Dopplungen) entschärft werden. Insbesondere für feststehende Plattformen, die nicht gedockt werden können, aber auch Pipelines, ist dies eine geeignete Reparaturmaßnahme, sie auch unter schwierigen Bedingungen durchgeführt werden kann.

Zu welchen katastrophalen Folgen das Nichterkennen von Schwingrissen führen kann, zeigt der Unfall der Wohn-plattform Alexander L. Kielland am 27. März 1980 im Ekofisk Feld:

Nach dem Untersuchungsbericht /7/ und /8/ wurde der Unfall durch einen Schwingbruch der Verstrebung D-6 (Bild 1) ausgelöst. Ausgangspunkt war hier ein fehlerhaft eingeschweißter Hydrophonhalter. In kurzen Abständen ver-

sagten weitere Verstrebungen, was letztlich zum Verlust eines Beines des fünfbeinigen Halbtauchers führte. Der Unfall forderte 123 Todesopfer.

Ausgehend von diesem Schadensfall soll die Frage untersucht werden, ob bei rechtzeitigem Entdecken des für das Versagen ursächlichen Risses und seiner Reparatur mit den derzeit verfügbaren technologischen Mitteln das Versagen der Konstruktion in der restlichen Betriebszeit hätte vermieden werden können.

Als erster Schritt wurde hierzu der Schadensverlauf experimentell nachvollzogen. In einem zweiten Schritt wurde der geschädigte Bereich herausgetrennt und durch eine unter Wasser durchgeführte Flickenschweißung (Dopplung) ersetzt. Das reparierte Modell wurde anschließend erneut einer Schwingfestigkeitsprüfung unterzogen.

Versuchsbegleitend wurden Dehnungsmessungen und Spannungsberechnungen durchgeführt.

In einer Parameterstudie ist der Einfluß verschiedener Dopplungsformen auf das Spannungsniveau in den anriß-kritischen Bereichen untersucht worden.

Abschließend wurde der Frage nach einer in Bezug auf die Lebensdauer günstig gestalteten Schweißnaht nachgegangen.

In der Literatur wird das Thema der Dopplung häufig behandelt. Der Schwerpunkt liegt jedoch bei Dopplungen, die einseitig auf intakte Strukturen zum Zweck der Steifigkeitserhöhung aufgesetzt werden. Hierbei gilt den umschweißten Enden besondere Beachtung. Darüber gibt es z.B. Arbeiten von Paetzold /9/, Gurney und Maddox /10/

und Vorschriften des Germanischen Lloyd /3/, der Deutschen Bundesbahn /11/ sowie die Norm DIN 4100 /12/.

Anwendungsgebiete sind im Schiffbau z.B. Hilfsmaschinenfundamente und auf Deck und Boden aufgesetzte Dopplungen zur Erhöhung des Hauptspantwiderstandsmoments bei Schiffsverlängerungen. Im Brückenbau sind Dopplungen ebenfalls häufig zu finden.

Beidseitig aufgesetzte Dopplungen werden von Radaj in /13/ theoretisch behandelt. Versuchsergebnisse von Kleinproben sind von Olivier und Ritter in /14/ (Teil 3) zusammengefaßt. Weitergehende Untersuchungen werden z.Zt. in einem DFG-Forschungsvorhaben behandelt.

Unter Wasser durchgeführte Reparaturen sind z.B. für eingesetzte Rohrstücke in /15,16/ beschrieben. Die Schweißnahtqualität von Naßschweißungen wird in /17,18/ untersucht, ohne dabei die Gesamtstruktur zu betrachten.

# 2 Untersuchungen am Hydrophonhalter

Zur Simulation des Schadensherganges an der "Alexander Kielland" wurde ein Versuchsmodell gefertigt, das die Strebe D6, deren Versagen das Kentern der Plattform verursachte, darstellt. Bild 1 zeigt die Strebe mit dem schadensursächlichen Hydrophonhalter, Bild 2 eine Skizze des Versuchsmodells.

Die Strebe ist darin durch eine ebene Platte ersetzt. Im Übrigen sind die Originalabmessungen beibehalten. Die Werkstoffeigenschaften von Platte und Stutzen wurden denen der Originalkonstruktion möglichst weitgehend

angepaßt. Die Streckgrenze der Platte betrug

$$\sigma_{0.2} = 300 - 345 \text{ N/mm}^2$$

und die Bruchgrenze

$$\sigma_{\rm b} = 500 - 520 \, \text{N/mm}^2$$

Die Fertigung des Modells erfolgte im Laboratorium Werkstoffkunde und Schweißtechnik der Universität der Bundeswehr, Hamburg. Sie wurde so vorgenommen, die Kehlnaht zwischen Hydrophonhalter und der die Strebe D6 simulierenden Platte mit einer Originalfall dem entsprechenden geringen Nahtqualität erstellt wurde. wurde mit feuchten basischen Elektroden geschweißt, so daß bei einem diffusionsfähigen Wasserstoffgehalt etwa 20 Nml  $H_D$  je 100g Fe in der Naht Unternahtrisse entstanden.

Die Untersuchung des Modells erfolgte am Institut für Schiffbau der Universität Hamburg (IfS). Hierzu wurde das Modell zunächst einer Schwingbeanspruchung unterzogen.

Das Auftreten des ersten Anrisses und der Rißfortschritt wurden beobachtet. Nach Erreichen einer vorgegebenen Anrißlänge wurde der Versuch abgebrochen.

# 2.1 Versuchsdurchführung und Versuchsergebnisse

Der Schwingfestigkeitsversuch wurde in der Festigkeitsanlage des IfS durchgeführt. Der Versuchsaufbau ist
in Bild 3 und 13 gezeigt. Die Last wird durch 4 vertikal
angeordnete I-Träger, die im oberen Bereich von zwei
servohydraulischen Zylindern gedrückt werden und unten
über Druckstangen am Widerlager gelagert sind, in das

Modell eingeleitet.

Durch die Modellanordnung auf halber Höhe zwischen den Zylindern und den Druckstangen wird in etwa die zweifache Zylinderkraft in das Modell eingeleitet.

Als Grenzspannungsverhältnis wurde R=0 (Zugschwellbeanspruchung) gewählt. Die Nennoberspannung im ungestörten Querschnitt betrug

$$\sigma_0 = 75 \text{ N/mm}^2$$
.

Die Belastung wurde mit einer Frequenz von ca. 0.2 Hz aufgebracht. Der Rißverlauf in der Einbrandkerbe zwischen der Kehlnaht und der Platte wurde mit Hilfe des Farbeindringverfahrens beobachtet.

Während des Versuchs wurde die Spannung an den in Bild 2 gezeigten Punkten mit Dehnungsmeßstreifen (DMS) gemessen.

In Bild 4 sind die in Modellmitte und 750 mm aus der Mitte nach 15 130 und 85 000 Lastwechseln gemessenen Spannungen gezeigt.

Die größeren Spannungen in der 270° Position können auf eine ausgedehntere Schädigung in diesem Bereich zurück-geführt werden. Nach 85 000 Lastwechseln ist der Riß in der 120° Position von der Schweißnaht in die Platte abgezweigt, so daß dieser Versuch beendet wurde.

Die bei Versuchsende gemessenen Rißlängen sind in Bild 5 abgebildet.

Zusammenfassend zu diesem Abschnitt kann festgestellt werden, daß der Rißpfad dem des originalen Schadensfalles entsprach.

# 2.2 Finite Element Berechnung und Vergleich mit der Messung

Versuchsbegleitende Berechnungen wurden mit dem Finite Element (FE) Programm ADINA /19/ durchgeführt. Es wurde ein Viertelmodell aus Plattenelementen mit 9 Knoten mit Symmetriebedingungen an zwei Seiten erstellt. Auf die Nachbildung der Schulterung im Krafteinleitungsbereich wurde verzichtet (Bild 6). Der Hydrophonhalter wurde ebenfalls mit Plattenelementen idealisiert.

Die Belastung wurde am rechten Modellrand in Form einer Verschiebung u vorgegeben. Sie wurde so gewählt, daß sich die im Versuch gemessene Nennspannung von

 $\sigma = 75 \text{ N/mm}^2$ 

im ungestörten Querschnitt einstellte.

Mit drei Rechenläufen wurde die Spannungsverteilung im Symmetriequerschnitt I (Bild 6) mit zunehmender Rißlänge um den Hydrophonhalter herum nachvollzogen.

Hierzu wurden die Freiheitsgrade der Knoten von Platte und Stutzen entlang der Schweißnaht zunächst gekoppelt (Schweißnaht intakt) und dann entsprechend der Rißlänge über einen Bereich von 45° und 90° (Platte ohne Stutzen) entkoppelt.

Die berechneten Spannungsverläufe sind in Bild 7 den Meßwerten gegenübergestellt. Die Rechnung zeigt deutlich, daß nach einer Rißausbreitung von mehr als 45° der Stutzen praktisch nicht mehr mitträgt.

Da sich der Riß im Versuch stark unsymmetrisch ausbreitete, entspricht das Rechenmodell mit doppelter Symmetrie nicht den Versuchsbedingungen. Die beiden Extremfälle "Schweißnaht intakt" und "Platte ohne Stutzen" grenzen jedoch den gesamten Versuchsablauf ein.

Die nach 15 130 und 85 000 Lastwechseln gemessenen Spannungen liegen genau in diesem Bereich und stehen damit im Einklang mit den Rechenergebnissen.

Zur Prüfung der Übertragbarkeit der an dem ebenen Modell gefundenen Ergebnisse wurde eine Vergleichsrechnung durchgeführt. Danach hat eine gekrümmt nachgebildete Platte mit dem Durchmesser der Strebe D6 (D = 2.6 m) praktisch keinen Einfluß auf die Spannungskonzentration am Hydrophonhalter.

#### 3 Flickenschweißung

Für die Reparatur wurde der geschädigte Modellbereich herausgetrennt und durch ein in trockener Umgebung mit erhöhter Kehlnahtqualität am Hydrophonhalter hergestelltes Ersatzstück ausgetauscht.

Das Einsetzen des Ersatzstücks erfolgte in nasser Umgebung im Tauchbecken des Instituts für Anlagentechnik der GKSS.

Zur Untersuchung der Schwingfestigkeit des reparierten Modells wurde die Versuchsplatte wieder in die Versuchsvorrichtung des Instituts für Schiffbau eingebaut und einer weiteren Schwingbelastung unterzogen.

# 3.1 Durchführung der Reparatur

Die Umfangskehlnaht zwischen der Platte und dem Flicken wurde mit dem "water curtain-local dry spot" Prozess geschweißt. Dieses Verfahren wurde an der Universität der Bundeswehr Hamburg entwickelt und ist in /20/ detailiert beschrieben.

In /21/ wird über die Wasserstoffaufnahme bei der Anwendung dieses Schweißverfahrens berichtet.

Bild 8 zeigt Aufnahmen des Schweißapparates und das reparierte Modell über dem Tauchbecken der GUSI (<u>G</u>KSS <u>U</u>nderwater <u>Si</u>mulator).

Geschweißt wurde mit folgenden Parametern:

Strom 290 A

Spannung 30 V

Schweißgeschwindigkeit 18 cm/min

Fülldraht Griduct SV8

Schutzgas Krysal

Die Schweißung wurde fernbedient in einer Wassertiefe von 5 m durchgeführt. Während des Vorgangs erfolgte eine Überwachung der Stromstärke, der Spannung und der Durchflußmenge des Schutzgases.

# 3.2 Schwingfestigkeitsversuch

Der Versuchsaufbau und die Versuchsdurchführung unterscheiden sich praktisch nicht von dem in Abschnitt 2.1 beschriebenen. Der Versuch wird ebenfalls bei einem Grenzspannungsverhältnis von R=0 (Zugschwellbeanspruchung) durchgeführt. Die Abmessungen des Modells im Reparaturbereich und die Anordnung der Dehnungsmeßstreifen (DMS) zeigt Bild 9.

Durch die Reparaturmaßnahme in Form einer Flickenschweißung sind zwei neue potentielle Anrißstellen entstanden, während die Kehlnaht zwischen der Dopplung und dem Hydrophonhalter entlastet wurde.

Die ermüdungskritischen Stellen sind nun zum einen die durch das Heraustrennen des defekten Teils entstandenen Brennschnittkanten in der 90° und 270° Position und zum anderen in der 0° und 180° Position die quer zur Kraftrichtung verlaufende Kehlnaht zwischen dem Flicken und der Platte. Auf Grund der geringen Rauhigkeit der Brennschnittkante ist an dem untersuchten Modell die querverlaufende Kehlnaht als die kritischere Kerbe anzusehen.

Der gemessene Verlauf der Hauptspannung auf der Plattenoberseite 30 mm vor der Dopplung ist in Bild 10 qualitativ über den Umfang aufgetragen.

Auf eine ausführliche Wiedergabe der gemessenen Spannungen wird verzichtet, da im Anschluß an die Experimente keine Übereinstimmung mit einer FE-Rechnung erreichen war. Ursache hierfür war die starke Vorverformung des Modells durch Schweißverzug. Da sie nach Versuchsende nicht mehr aufgemessen werden konnte, wurde Dehnungs- und Vorverformungsmessungen ein weiteres Modell im verkleinerten Maßstab gefertigt, über das

Abschnitt 3.3 berichtet wird.

Die Last für den Schwingfestigkeitsversuch wurde nach den Dehnungssignalen der Meßstellen 79 und 89 (Bild 9) eingestellt. Der Abstand dieser DMS zur Einbrandkerbe der Kehlnaht betrug 2.5 mm und die Meßgitterlänge 3.0 mm, wie sie von Haibach /22/ vorgeschlagen werden.

Paetzold untersucht in /9/ Dopplungsenden und findet auf diese Weise Dehnungen von 1500  $\mu$ m/m bei einer Anriß-lastspielzahl von ca. 100 000 Lastwechseln.

Für den vorliegenden Versuch wurde in Anlehnung an diese Untersuchung eine Doppelamplitude von 133 N/mm² im ungestörten Querschnitt gewählt, so daß zu Versuchsbeginn der Meßstreifen DMS 79 eine Dehnung von 1259  $\mu$ m/m anzeigte, und DMS 89 eine Dehnung von 1654  $\mu$ m/m. Durch die Exzentrizität der Flickenschweißung überwiegt in diesem Bereich der Biegeanteil.

Der mit den Meßstreifen 69, 79 und 89 gemessene Dehnungsverlauf im Anrißbereich ist in Bild 11 über der Lebensdauer aufgetragen. Der schnelle Dehnungsabfall zu Beginn läßt auf einen frühzeitigen Rißbeginn schließen. Zum Versuchsende hin wird hier praktisch keine Dehnung mehr gemessen. Dies ist ein Zeichen dafür, daß der Flicken dann nicht mehr mitträgt.

Mit Hilfe des Farbeindringverfahrens konnte ein erster Riß nach 25 000 Lastwechseln in der Einbrandkerbe zwischen Kehlnaht und Platte in der 0° Position festgestellt werden. Der Rißfortschritt ist in Bild 12 gezeigt.

Nach einer zunächst hohen Anfangsrißgeschwindigkeit wurden die Risse nach ca. 60 000 Lastwechseln merklich lang-

samer und kamen zum Versuchsende hin zum Teil ganz zum Stehen.

Ab 75 000 Lastwechseln begannen die Risse von der Einbrandkerbe der Kehlnaht in das Grundmaterial abzuzweigen. Diese Risse verlaufen in etwa senkrecht zur Kraftrichtung (Bild 14). Die Abzweigungen erfolgten nicht von der Rißspitze aus, sondern lagen ca. 40 mm zurück.

Nach 95 000 Lastwechseln schlug der Riß auf der einen Modellseite (180°) zur Plattenunterseite durch, auf der anderen (0°) nach 106 650 Lastwechseln. Auf der Unterseite verläuft der Riß zunächst ähnlich wie auf der Oberseite und nach ca. 25° terassenförmig in Kraftrichtung und senkrecht dazu (siehe Bild 14).

Die auf der Plattenunterseite beobachtete Rißgeschwindigkeit ist erheblich größer als auf der Oberseite, was auf eine fast konstante Rißtiefe über die Rißlänge schließen läßt.

Der Versuch wurde beendet, nachdem bei einer Lastspielzahl von 110 000 ein Riß um eine vorgegebene Länge von 40 mm von der Einbrandkerbe aus in die Platte gewandert war.

Eine nähere Untersuchung der Anrißstellen nach dem Abschluß des Versuches zeigte, daß die Anrisse senkrecht zur Plattenoberfläche in der Wärmeeinflußzone entstanden. Dies ist vor allem deshalb bemerkenswert, weil der Nahtquerschnitt an diesen Stellen teilweise innere Fehler aufwies.

Im Anschluß an den Versuch wurden an den Rißausgangsstellen Härtmessungen durchgeführt. Der Mittelwert der Messungen lag mit 432  ${\rm HV}_1$  deutlich über dem von Öl- und Klassifikationsgesellschaften für Offshore-Konstruktionen

# 3.3 Versuchsmodell für Dehnungsmessungen

Um den Einfluß der Vorverformung auf die Spannungsverteilung im Modell zu ermitteln, wurden Vergleichsmessungen an einem weiteren Modell durchgeführt. Das Modell wurde in trockener Atmosphäre gefertigt. Die statische Belastung erfolgte im Horizontal-Resonanzpulser des IfS.

### Festlegung der Modellabmessungen

Gegenüber dem unter Wasser geschweißten Dopplungsmodell wurden die Abmessungen im Bereich der Dopplung in etwa im Maßstab 1: 2 verkleinert (Bild 15). Gleiches gilt für die Plattenstärken. Auf den Stutzen in der Dopplung wurde verzichtet.

Auch wenn der Resonanzpulser auf Grund der schmalen Spannbacken (110 mm) grundsätzlich besser zur Untersuchung stabförmiger Proben als flächenhafter Bauteile geeignet ist, kann durch eine ausreichend groß gewählte Modellänge im Kontrollquerschnitt (Bild 15) ein in etwa konstanter Spannungsverlauf erzielt werden. Zur Überprüfung Spannungsverteilung wurde als Rechenmodell zunächst ein Viertelmodell mit zwei Symmetrielinien erstellt. Die wurden - wie auch alle Berechnungen folgenden FE-Berechnungen - mit dem Finite-Element-Programm ADINA und zugehörigen Pre- und Postprozessoren ADINA-IN und Als Elementtyp ADINA-PLOT /19/ durchgeführt. wurden Scheibenelemente (2-D Solid) mit 9 Knoten gewählt. Die Netzeinteilung und die Randbedingungen zeigt Bild 16 .

Für ein Modell, das über den Kontrollquerschnitt hinaus um 500 mm verlängert ist, zeigt Bild 17 die Hauptspannungsverteilung. Die Störung durch die geringe Krafteinleitungsbreite ist im Kontrollquerschnitt abgeklungen. Dies geht auch aus einer anderen Darstellungsweise in Bild 18 hervor. Hier sind die Bereiche schraffiert, in denen die Spannung um weniger als 5 % von der Nennspannung nach oben oder unten abweicht. Die gewählten Modellabmessungen sind also ausreichend. Ergänzend ist hier auch die Verformung dargestellt.

#### Vorverformung

Die durch Schweißverzug entstandene Vorverformung des Dopplungsmodells wurde mit einer mechanischen Meßuhr entlang beider Mittellinien und am Rand aufgemessen (Bild 19) und später auf das Rechenmodell übertragen. Der Maximalwert der Vorverformung entspricht in etwa der halben Plattenstärke. Der Verlauf ist fast symmetrisch, so daß für die Berechnung ein Viertelmodell ausreicht. Zum Aufbringen der Vorverformung auf das Rechenmodell wurden die z-Koordinaten in der generierten Eingabedatei mit Hilfe eines kleinen Programms entsprechend der Kurve in Bild 19 korrigiert.

#### Finite-Element-Netz

Das für die Spannungsberechnung erstellte Rechenmodell unterscheidet sich nur geringfügig von dem Ausgangsmodell für die Variantenrechnung, so daß für eine Erläuterung auf den Abschnitt 4 und die Bilder 23 bis 29 verwiesen werden kann.

# Vergleich von Rechnung und Messung

Der für das Versuchsmodell berechnete Spannungsverlauf entlang der Symmetrielinien ist in Bild 20 zusammen mit den Meßwerten wiedergegeben. Sie gelten für eine Nennspannung von  $\sigma=133$  N/mm² im ungestörten Querschnitt.

Eine Übereinstimmung mit den gemessenen Werten konnte erst duch das Aufbringen der Vorverformung auf das Rechenmodell erreicht werden.

Die Biegespannung vor der Dopplung wird durch die Vorverformung wesentlich erhöht, dagegen wird die seitliche Brennschnittkante deutlich entlastet.

#### 3.4 Bewertung der Flickenschweißung nach DIN 15018

Eine Bewertung der Schwingfestigkeit der Flickenschweißung ergibt nach DIN 15018 /1/ folgende Einstufung:

Für die im Versuch bei einem Rechteckspannungskollektiv (S3) erreichte Lebensdauer von 110 000 Lastspielen (N1) liegt die Beanspruchungsgruppe B4 vor.

Im Kerbfall K4 ist für diese Beanspruchungsgruppe eine Spannungsamplitude  $\sigma_{\rm A}=54~{\rm N/mm^2}$  bei einem Grenzspannungsverhältnis R = -1 zulässig. Umgerechnet auf ein Grenzspannungsverhältnis von R = 0 und unter Berücksichtigung der in der DIN 15018 enthaltenen Sicherheit von 4/3 ergeben sich zulässige Oberspannungen von

$$\sigma_{0,90\%} = 54 \cdot 5/3 \cdot 4/3 \text{ N/mm}^2$$

$$= 120 \text{ N/mm}^2$$

$$\sigma_{0,10\%} = 120 \cdot 1.5 \text{ N/mm}^2$$

$$= 180 \text{ N/mm}^2$$

für 90 % und 10 % Überlebenswahrscheinlichkeit. Der Versuchswert liegt mit

$$\sigma_0 = 133 \text{ N/mm}^2$$

dicht an der 90 % Überlebenswahrscheinlichkeitslinie des Kerbfalls K4. Die Reparaturnaht kann demnach dem Kerbfall K4 zugeordnet werden.

Versuche mit einseitig auf durchgehende Grundplatten aufgeschweißte Dopplungen /9/ führten zu einer Einstufung in die Kerbfälle K2 - K3. In den Vorschriften /1/ ist diese Verbindungsform je nach Nahtausführung und Prüfung den Kerbfällen K2 bis K4 zugeordnet.

# 3.5 Lineare Schadensakkumulationsrechnung

Mit einer linearen Schadensakkumulationsrechnung nach Palgrem-Miner /24/ soll eine ertragbare Lebensdauer der Flickenschweißung unter Betriebsbeanspruchung abgeschätzt werden.

Für die Durchführung wird der Versuchswert aus dem Einstufenversuch mit einer Spannungsamplitude von

$$\sigma_{\lambda} = 67 \text{ N/mm}^2$$

und der Lastspielzahl

$$N_{V} = 110 000$$

als ein Punkt der Wöhlerlinie betrachtet. Als Neigung wird

$$k = 3.75$$

angenommen, wie es für Schweißverbindungen üblich ist /14/. Ein Einfluß des Grenzspannungsverhältnisses wird hierbei nicht angenommen.

Das Lastkollektiv für die Betriebsbeanspruchung ist geradlinig mit einer maximalen Spannungsamplitude von  $137 \text{ N/mm}^2$  bei  $5 \times 10^7$  Lastwechseln für eine Betriebszeit von 10 Jahren /7/.

Für das Kollektiv erfolgt entsprechend Bild 21 eine Aufteilung in 8 Stufen  $\sigma_{\rm ai}$  mit zugehörigen Lastspielzahlen N<sub>Bi</sub> für jeden Schritt i /25/.

Die im Einstufenversuch ertragbare Lastspielzahl  $N_{\hbox{\scriptsize EVi}}$  ergibt sich für Spannungen im Zeitfestigkeitsbereich zu

$$N_{EVi} = (\sigma_{ai}/67)^{-3.75} \cdot 110 000$$

Die relative Schädigung auf jeder Stufe ist

$$S_i = N_{Bi} / N_{EVi}$$

Für die kennzeichnende Lastspielzahl

$$N_{\lambda} = 2 \cdot 10^6$$

(Abknickpunkt im Wöhlerdiagramm Bild 21) ergibt sich eine

Spannungsamplitude

$$\sigma_{\text{Da}} = (N_{\text{A}}/N_{\text{V}})^{-1/k} \cdot \sigma_{\text{A}}$$

$$= (2 \cdot 10^{6}/110 \cdot 000)^{-1/3.75} \cdot 67 \cdot N/\text{mm}^{2}$$

$$= 31 \cdot N/\text{mm}^{2}$$

Entsprechend der Palgrem-Miner Rechnung werden nur Spannungszyklen oberhalb  $\sigma_{\mathrm{Da}}$  als schädigend angesehen, d.h. es wird von einer ausgeprägten Dauerfestigkeit ausgegangen, wie es Kurve a im Wöhlerliniendiagramm (Bild 21) verdeutlicht. In diesem Fall bedeutet es, daß die 8. Stufe des Lastkollektivs mit

$$\sigma_{a8} = 17 \text{ N/mm}^2$$

keinen Beitrag zur Schädigung liefert. Über alle anderen Stufen summiert sich die Schädigung zu

$$S = \Sigma N_{Bi}/N_{EVi} = 1.87$$

auf. Die zu erwartende Lebensdauer der Flickenschweißung unter Betriebsbelastung ist der Quotient aus Kollektivumfang und Schädigung S und demnach

$$50 \cdot 10^6 / 1.87 = 26.7 \cdot 10^6$$
 Lastwechsel (5.4 Jahre).

Die in Bild 21 tabellarisch durchgeführte Schadensrechnung zeigt in eindrucksvoller Weise, daß bei einem geradlinigen Belastungskollektiv nicht die wenigen Lastspiele mit hoher Spannung schädigen, sondern die große Anzahl von Lastspielen mit geringem Spannungsniveau.

Nach neueren Untersuchungen z.B. /26,27/ und Vorschriften /2/ wirken auch Laststufen unterhalb  $\sigma_{\rm Da}$  schädigend, auch

wenn es hierfür auf Grund von langen Versuchszeiten wenig Versuchsergebnisse gibt.

Eine konservative Abschätzung der Lebensdauer kann mit der elementaren Miner-Regel erfolgen, bei der die Zeitfestigkeitsgerade geradlinig verlängert wird (Kurve c in Bild 21).

Dies führt zur Lastspielzahl der 8. Stufe

$$N_{EV8} = (\sigma_{a8}/\sigma_{Da})^{-k} \cdot N_{A}$$

$$= (17/31)^{-3.75} \cdot 2 \cdot 10^{6}$$

$$= 19.03 \cdot 10^{6} \text{ Lastwechsel}$$

und zur Schädigung

$$S_8 = N_{B8}/N_{EV8}$$
  
=  $48.3 \cdot 10^6/19.03 \cdot 10^6$   
=  $2.54$ 

Die Gesamtschadenssumme erhöht sich damit auf

$$S = 1.87 + 2.54 = 4.41$$

und führt zu einer Verringerung der Lebensdauer auf

$$11.3 \cdot 10^6$$
 Lastwechsel (2.3 Jahre).

Die beiden abgeschätzten Lebensdauern von 2.3 und 5.4 Jahren stellen sicherlich Extremwerte dar.

Eine realistischere Berücksichtigung von Belastungszyklen unterhalb  $\sigma_{\mathrm{Da}}$  kann durch eine fiktive Fortsetzung der Zeitfestigkeitsgeraden mit in etwa halbierter Neigung erfolgen. Haibach schlägt hierfür in /28/ für eine modifizierte Miner-Regel

$$k' = 2k - 1$$

vor (Kurve b im Wöhlerliniendiagramm Bild 21).

Damit ergeben sich

$$N_{EV8} = (17/31)^{-(2 \cdot k-1)} \cdot 2 \cdot 10^{6}$$

$$= 99.30 \cdot 10^{6} \text{ Lastwechsel}$$

und

$$S_8 = 48.3 \cdot 10^6 / 99.30 \cdot 10^6$$
  
= 0.49

und

$$S = 1.87 + 0.49 = 2.36$$
.

Die Lebensdauer wird somit auf

abgeschätzt.

Die zuletzt durchgeführte Abschätzung entspricht in etwa dem Eurocode Nr.3 /2/. Die Neigung der Zeitfestigkeitsgeraden beträgt dort 3 (statt 3.75) und der Abknickpunkt  $N_{\rm A}$  liegt bei 5  $\cdot$  10 $^6$  (statt 2  $\cdot$  10 $^6$ ). Die Neigung

der fiktiven Fortsetzung berechnet sich ebenfalls aus k' = 2k - 1 = 5. Die Wöhlerkurve erhält bei  $10^8$  Lastwechseln einen zweiten Abknickpunkt und verläuft ab hier horizontal (cut-off limit).

Es darf nicht unerwähnt bleiben, daß Lebensdauern aus einer linearen Schadensakkumulationsrechnung erheblich von Bauteillebensdauern abweichen können /29/. Deshalb ist bei der Auslegung von Bauwerken mit Hilfe einer Schadensakkumulationsrechnung eine Schadenssumme weit unter S=1 anzustreben. Für Gastanker beträgt sie z.B. nur S=0.5/30/.

# 4 Parameteruntersuchungen an der Flickenform

In diesem Abschnitt soll auf rechnerischem Wege der Einfluß verschiedener Gestaltänderungen auf die Spannungsverteilung untersucht werden.

Kritische Bereiche mit hohen Spannungsniveaus sind wie bereits erwähnt zum einen die Dopplungsenden, dort wo die Schweißnaht senkrecht zur Kraftrichtung verläuft, und zum anderen die durch das Heraustrennen des defekten Teils entstandenen Brennschnittkanten im seitlichen Bereich.

Für die Parameterstudie wurde von dem speziellen Fall der Dopplung mit integriertem Stutzen abgewichen. Die Dopplung wurde als ebene Platte modelliert.

Ferner sind die Modellränder so weit von der Dopplung entfernt gelegen, daß eine Geometrieänderung der Dopplung oder des Ausschnitts den Spannungsverlauf an den Modellrändern nicht beeinflußt.

# 4.1 Parameter

Ausgehend von der Version 1 (Bild 22) wurden folgende Größen variiert:

- Dopplungsdicke (Version 2 und 3)
- Dopplungsdicke unter Berücksichtigung der Änderung des Abstandes der neutralen Fasern von Dopplung und Grundplatte (Version 4 bis 10)
- Kehlnahtdicke (Version 11 und 12)
- Dopplungsblech in der Mitte abgesenkt (Version 13 und 14)
- Überlappungslänge von Dopplung und Grundplatte (Version 15 und 16)
- Ausschnitt und Dopplung als Ellipse in Kraftrichtung (Version 17 bis 20)
- Ausschnitt und Dopplung als Ellipse quer zur Kraftrichtung (Version 21 bis 24)
- Ausschnitt als Ellipse in Kraftrichtung und Dopplung als Ellipse quer zur Kraftrichtung (Version 25 bis 28)

Die untersuchten Varianten und ihre Abmessungen sind in den Tabellen 1 und 2 aufgeführt.

#### 4.2 Rechenmodell

Die Abmessungen des Ausgangsrechenmodells zeigt Bild 22. Unter Ausnutzung der doppelten Symmetrie ist die Nachbildung eines Viertelmodells ausreichend.

Das Finite-Element-Netz zeigen die Bilder 23 und 24. Verwendet wurden 9 Knoten-Plattenelemente (Shell Elements), die bis auf den Verdrehfreiheitsgrad um die Plattennormale alle Freiheitsgrade besitzen. Zur Dopplungsmitte hin wurde auf 4-Knoten-Elemente übergegangen. Platte und Dopplung wurden im Abstand ihrer neutralen Fasern angeordnet. Die Schweißnaht wurde ebenfalls mit Plattenelementen nachgebildet, die unter 45 Grad angeordnet wurden.

Um eine Klaffung zwischen Grundplatte und Dopplung zu ermöglichen, eine Durchdringung aber zu verhindern, wurden zwischen Platte und Dopplung Stäbe (Gap-Truss-Elements) angeordnet, die Druck-, aber keine Zugkräfte übertragen können. Ihr elastisches Werkstoffverhalten mit verschwindendem E-Modul im Zugbereich verdeutlicht Bild 25.

Belastung wird am rechten Modellrand an einem Knoten eine Kraft  $F_{\mathbf{x}}$  aufgebracht. Die Verschiebungen u der Knoten an diesem Rand sind gekoppelt, so daß sich eine Verschiebung Krafteinleitung parallele der (Bild 22). Gegenüber der Vorgabe einer Verschiebung des rechten Randes hat diese Vorgehensweise Vorteil, daß für geänderte Dopplungsgeometrien damit verbundene Änderung der Modellsteifigkeit stets gleiche Nennspannung auf das Rechenmodell aufgebracht wird.

Als Nennspannung wurde 133 N/mm² gewählt. Der Absolutwert der Spannung ist jedoch unerheblich, da hier ein Relativvergleich durchgeführt wird.

Der Krafteinleitungsrand ist drehbar gelagert.

Die im folgenden angegebene Rechenzeit für das Rechenmodell liegt auf Grund des verwendeten nichtlinearen Werkstoffgesetzes für die Gap-Stäbe relativ hoch:

Anzahl der Freiheitsgrade: 3922 Bandbreite (optimiert): 561

Speicherbedarf : 15810 kByte

Rechenzeit : 11 CPU-Minuten

Rechner : VAX 6310

# 4.3 Ergebnisse

Für die Grundversion sind die Ergebnisse in den Bildern 26 bis 29 dargestellt. Der Bereich zwischen Dopplung und Platte, in dem die Gap-Stäbe Druck übertragen ist klein und in Bild 26 gekennzeichnet. die Ausgangsversion durchgeführte Vergleichsrechnung Verwendung von Gap-Stäben hat auch gezeigt, daß ihre Wirkung gering ist. Bild 27 und 28 zeigen die Hauptspannungen auf Plattenoberseite und -unterseite. beiden kritischen Bereiche sind mit A und B markiert.

Der Spannungsverlauf entlang der Modellränder ist in Bild 29 für die Ausgangsversion dargestellt. Er ist für alle untersuchten Versionen ähnlich, die Spannungsspitzen fallen jedoch unterschiedlich aus.

Die Biegespannungen am seitlichen Modellrand deuten auf einen Randeinfluß hin. Er ist jedoch gering, wie eine Vergleichsrechnung mit einem in der Breite verdoppelten Rechenmodell bei sonst gleichen Abmessungen zeigte. Die Abweichungen der Ergebnisse in den Bereichen A und Blagen unter 5%.

Für die Bewertung aller Modellvarianten sind die Quotienten aus Maximalspannung und Nennspannung (Formzahlen  $\alpha_{\rm K}$ ) in Tabelle 3 und in den Bildern 30 bis 36 wiedergegeben. Alle Formzahlen beziehen sich auf den Bruttoquerschnitt. Sie basieren also auf der Nennspannung im ungestörten Bereich.

Die durchgeführten FE-Berechnungen führten zu Formzahlen  $\alpha_{\rm K}$ , die im Bereich A zwischen 0.2 und 1.77 liegen und für den Bereich B zwischen 1,89 und 4.54. Für Bereich A stellt 0.2 jedoch einen Grenzwert dar.

Die durchgeführten Veränderungen der Modellgeometrie liefern folgende Ergebnisse:

Die Dopplungsdicke  $t_D$  beeinflußt die Spannungsspitze praktisch nur im Bereich B (Bild 30).

Die Untersuchung über einen größeren Bereich von Dopplungsdicke zu Grundplattendicke  $t_{\rm D}/t_{\rm G}$  unter Berücksichtigung des sich ändernden Abstands der neutralen Fasern e zeigt (Bild 31).

Das Diagramm stimmt im rechten Bereich mit Bild 30 überein. Links laufen die Kurven gegen den Grenzwert einer Platte mit Loch ohne Dopplung ( $t_D = 0$ ). Im Bereich A fallen die Spannungen stark ab. Am seitlichen Lochrand ergibt sich eine Formzahl  $\alpha_K$ , die knapp über 3, dem Grenzwert für eine unendlich ausgedehnte Scheibe mit Loch liegt.

Im folgenden wird der mit Hilfe der Finite-Element-Methode bestimmte Spannungskonzentrationsfaktor Werten aus der Literatur gegenübergestellt. FE  $\alpha_{\rm K} = 3.04$  Peterson /31/  $\alpha_{\rm K} = 3.13$  Engineering Science Data Unit /32/  $\alpha_{\rm K} = 3.15$  Radaj /33/  $\alpha_{\rm K} = 3.22$ 

Die Unterschiede in den Kerbfaktoren sind als gering anzusehen. Radaj stellt in /34/ für ausgewählte Kerbformen von verschiedenen Autoren bestimmte Kerbfaktoren gegenüber, die weitaus größere Abweichungen aufweisen.

Die Grenzbetrachtung zeigt, daß die Verwendung von Dopplungen zum Abdecken von Ausschnitten nur dort sinnvoll ist, wo die Dopplung Dichtigkeitsaufgaben zu erfüllen hat.

Die Dicke a der schräggestellten Plattenelemente, mit denen die Kehlnaht zwischen der Grundplatte und der Dopplung idealisiert ist, beeinflußt das Ergebnis im gewählten Bereich  $a/t_G=0.8\div1.2$  kaum (Bild 32).

Durch das Absenken der Dopplung im Inneren des Ausschnitts wird die Spannungskonzentration seitlich an der Brennschnittkante deutlich reduziert. Ein Absenken um den Abstand der neutralen Fasern e senkt die Formzahl von  $\alpha_k=2.9$  auf  $\alpha_k=2.2$  (Bild 33). Die Spannung vor der Dopplung in Bereich A wird durch diese Maßnahme jedoch praktisch nicht verändert.

Eine Vergrößerung der Überlappungslänge von Dopplung und Grundplatte führt in beiden Bereichen A und B zu kaum merklichen Spannungsabnahmen (Bild 34). Für diese Varianten wurde der Dopplungsdurchmesser verändert und der Ausschnittsdurchmesser konstant gehalten.

Elliptisch ausgeführte Dopplungen und Ausschnitte lassen für den Bereich B einen großen Einfluß auf die Spannungsspitze vermuten /31/.

Wird der Ausschnitt als Ellipse in Kraftrichtung ausund mit einem ebenfalls in gebrannt Kraftrichtung elliptischen Flicken abgedeckt, so kann die Brennschnittim seitlichen Bereich B gegenüber der kreisrunden Form deutlich entschärft werden. Ein Seitenverhältnis der Ellipsen von etwa 2 reduziert den Erhöhungsfaktor über der kreisrunden Variante von ca. 3 auf 2. Ähnliche Werte sind auch für elliptische Ausschnitte ohne erzielen /32/. Für den Bereich A vor der Dopplung ergibt sich eine entgegengesetzte Tendenz . Werden sowohl der Ausschnitt als auch die Dopplung als quer zur Kraftrichtung ausgerichtete Ellipsen ausgeführt, so steigt die Formzahl für den Bereich B stark an. Für den Bereich A hat sie dagegen eine leicht fallende Tendenz. Dieser Fall ist in Bild 35 mit einem gegenüber den anderen Diagrammen geänderten Maßstab dargestellt.

Gegenüber den bisher überprüften Varianten können die Formzahlen durch elliptische Dopplungs- und Ausschnittsformen besonders stark beeinflußt werden. Sie sind deshalb hierfür zusätzlich in Bild 36 in Biegeund Normalspannungsanteil aufgeteilt. Vor der Dopplung Biegespannungsanteil praktisch konstant, so daß Oberflächenspannung äquidistant zur Normalspannung verläuft. Für den seitlichen Bereich ergibt sich ähnliches. Der Biegeanteil ist hier jedoch betragsmäßig kleiner erreicht erst bei quer angeordneten Ellipsen das Niveau des Bereichs A. Die Formzahlen werden also fast nur durch eine Verlagerung der Normalspannungen beeinflußt.

Der Verlauf der Formzahlen für einen elliptischen Ausschnitt in Kraftrichtung und einen elliptischen Flicken quer dazu zeigt Bild 37. Wie aus Bild 35 zu vermuten ist, führt dies in beiden kritischen Bereichen A und B zu günstigeren Verhältnissen, wenn auch im Bereich A nur geringfügig.

Die durchgeführte Parameterstudie zeigt, daß durch konstruktive Maßnahmen der Bereich der seitlichen Brennschnittkante deutlich entschärft werden kann. Der Bereich vor der Dopplung kann dagegen bestenfalls geringfügig verbessert werden. Eine mögliche Verbesserung durch eine günstige Nahtform wird deshalb im nächsten Abschnitt untersucht.

#### 5 Einfluß der Nahtform auf die Lebensdauer

Neben der Gestaltung des Flickens und des Ausschnitts hat auch die Form der Schweißnaht einen Einfluß auf die Lebensdauer der Konstruktion. Die hierzu untersuchten Nahtformen zeigt Bild 38. Die stark überwölbte Kehlnaht Nr. 1 mit einer Schenkellänge von 12 mm und a' = 12 mm entspricht in etwa der Nahtform des Versuchsmodells (Bezeichnung a' nach DIN 8563 /12/). Hiervon ausgehend wurde das a'-Maß der Kehlnaht in 4 Schritten bis auf a' = 5.0 mm reduziert. Die Schenkellänge wurde konstant gehalten, so daß mit fallendem a'-Maß auch der Nahtanstiegswinkel sinkt. Der Nahtanstiegswinkel  $\theta$  und a' sind fast proportional und entsprechen in etwa der Gleichung

$$\Theta = 12.8 \cdot a' - 64$$
.

Die Nahtform Nr. 4 ist vergleichbar mit der in der Bundesbahn-Vorschrift /11/ für Dopplungsenden geforderten Dreieckskehlnaht, die ein Seitenverhältnis von 2:1 aufweisen soll.

Die rechnerische Abschätzung der Lebensdauern der Nahtformen erfolgt nach einem von Radaj /35,36/ vorgeschlagenen Verfahren.

# 5.1 Lebensdauerabschätzung nach Radaj

Als ein Maß für die Schwingfestigkeit bei 2 Millionen Lastwechseln wird die Spannung am Rißausgangspunkt gewertet. Hierzu wird das Verhältnis der maximalen Spannung in der Kerbe  $\sigma_{\rm Kmax}$  zur Nennspannung  $\sigma_{\rm nenn}$  als Spannungskonzentrationsfaktor k $_{\rm t}$  definiert:

$$K_{t} = \frac{\sigma_{Kmax}}{\sigma_{nenn}}$$

Dabei wird ein fiktiver Kerbradius von 1 mm angenommen (Bild 38). Nach einem Ansatz von Neuber /37/ soll die Mikrostützwirkung durch diese fiktive Ausrundung der Kerbe erfaßt werden. Der für diese ausgerundete Kerbe bestimmte Spannungskonzentrationsfaktor  $\mathbf{K}_{\mathbf{t}}$  ist dann eine Abschätzung für den Abminderungsfaktor der Schwingfestigkeit  $\mathbf{K}_{\mathbf{f}}$ . Der Reziprokwert von  $\mathbf{K}_{\mathbf{f}}$  gibt das Verhältnis der Schwingfestigkeit der Schweißverbindung  $\sigma_{\mathbf{W}}$  zur Schwingfestigkeit des Grundwerkstoffs  $\sigma_{\mathbf{R}}$  an.

$$\frac{\sigma_{W}}{-} = \frac{1}{-}$$

$$\sigma_{B} \qquad K_{f}$$

Für die Schwingfestigkeit des Grundwerkstoffs wird

$$\sigma_{\rm B} = 270 \text{ N/mm}^2$$

gewählt, unabhängig von der Streckgrenze des Materials. Zugrundegelegt wird dabei ein Grenzspannungsverhältnis R=0 (Zugschwellbeanspruchung). Für 2 Millionen Lastwechsel ergibt sich so eine Spannungsamplitude von

$$\sigma_{\text{Da,R=0}} = \frac{1}{-} \cdot \frac{270}{-} \text{ N/mm}^2$$

# 5.2 Boundary Element Modell

die Berechnung des Spannungskonzentrationsfaktors ein 2-dimensionales Rechenmodell (Bild 39) erstellt. Grundplatte und Dopplung sind jeweils etwa um die 2.5-fache Blechstärke in Kraftrichtung mitidealisiert. So kann ein Einfluß der Naht auf die Spannungsverteilung an den Modellenden ausgeschlossen werden.

Auf eine Nachbildung der Grundplatte im Überlappungsbereich kann verzichtet werden, da sie bei diesem 2dimensionalen Rechenmodell spannungsfrei bleibt.

Die Schnittlasten am rechten Modellrand sind der Finite Element Berechnung entnommen.

Durch die Verwendung eines 2-dimensionalen Rechenmodells wird die Realität nicht exakt nachgebildet. Ein Relativvergleich unterschiedlicher Nahtformen kann damit jedoch durchgeführt werden. Die Berechnung des Spannungskonzentrationsfaktors  $K_{\rm f}$  wird mit dem Boundary Element Program BETSY /38,39/ durchgeführt. Das an der Technischen Universität München entwickelte Programm

wurde 1986 am IfS implementiert und bereits in /40/ zur Lebensdauerabschätzung nach der beschriebenen Methode angewendet. Es lieferte eine überwiegend konservative Abschätzung der Lebensdauer. Einen Überblick über weitere Anwendungen gibt /41/.

Im Gegensatz zu Finiten Elementen wird bei der Berechnung von Körpern mit Boundary Elementen (BE) nur die Oberfläche beschrieben.

ebenen Problemen reduziert sich die Dateneingabe Bei die Beschreibung des Randes. Die Eingabe ist damit gegenüber FE-Berechnungen reduziert. also erheblich Ergebnisse werden nur auf der beschriebenen Kontur Oberfläche (3D) angegeben. Für die detailierte Nachbildung der Nahtgeometrie eignet sich die BE-Methode Elementeinteilung eines besonders gut. Die der BE-Modelle zeigt Bild 40. Die Kontur ist durch Geraden und Kreisbögen nachgebildet. Der Nachteil einer voll-Steifigkeitsmatrix bei der Verwendung besetzten von Boundary Elementen ist hier durch die Unterteilung der Struktur in drei Unterbereiche begrenzt. Die Anzahl der Freiheitsgrade wird zwar durch die Elemente entlang Schnittlinien vergrößert, man erzielt aber dadurch eine gewisse Bandstruktur der Steifigkeitsmatrix. Außerdem erhält man zusätzliche Ergebnisse an diesen Schnittlinien.

# Die Netzparameter sind folgende:

Anzahl der Elemente : 410
Anzahl der Freiheitsgrade : 780

Speicherbedarf : 1150 kByte

Rechenzeit : 5 CPU-Minuten

Rechner : VAX 6310

#### 5.3 Ergebnisse

BE-Berechnungen liefern als Ergebnisse Normalspannungen, Schubspannungen und Verformungen. Die Normalspannungen sind unterteilt in Spannungen senkrecht zum Rand Spannungen entlang der Kontur (Tangentialspannungen). Darstellung der Ergebnisse wurde ein Plotprogramm das die Verformungen wie üblich darstellt und entwickelt, Spannungen stets senkrecht zur Kontur aufträgt Beispiel sind (Zugspannungen nach innen). Als die Ergebnisse für das 2. Modell mit a' = 10.25 mm Bildern 41, 42 und 43 qualitativ dargestellt. Schubspannungen sind klein und deshalb nicht aufgeführt.

Bild 42 zeigt am rechten Modellrand die aus der Berechnung übernommene überlagerte Biegeund An der Einspannung Normalspannung als Belastung. Rand stellt sich ebenfalls ein die über Plattendicke linearer Spannungsverlauf ein. An den beiden Schnitten ist deutlich zu erkennen, daß Spannungsumlagerung zu einem nichtlinearen Verlauf führt. Verlauf der Tangentialspannungen (Bild 43) Der

Oberseite der Grundplatte über einen weiten Bereich konstant und steigt kurz vor der Kehlnaht an. Wert wird in dem 1 mm Übergangsradius maximale erreicht. Die übrige Nahtoberfläche ist gering belastet. Erst obere Übergangsradius zeigt wieder eine deutliche Spannungsspitze. Sie liegt jedoch im Druckbereich und ist damit unkritisch.

Zum Vergleich aller Nahtformen zeigt Bild 44 den Tangentialspannungsverlauf über der abgewickelten Kontur im Bereich der unteren Kerbe. Die Kurven reichen von der Mitte der Naht (im Bild links) bis ca. 4 mm vor die Naht (rechts). Das Bild zeigt, daß der maximale Spannungswert mit fallendem a'-Maß- bzw. Nahtanstiegswinkel von dem 1 mm Ersatzradius zur Naht hin wandert.

In der folgenden Tabelle sind alle mit der BE-Methode

bestimmten Maximalwerte der Spannungen und Abminderungsfaktoren der Schwingfestigkeiten  $K_{\mathrm{f}}$  angegeben. Ergänzend ist noch für zwei Nahtformen der Spannungskonzentrationsfaktor  $K_{\mathrm{t}}$  mit Rechenmodellen ohne 1 mm Übergangsradius bestimmt worden. Für die Nahtform 5 mit a' = 5.0 mm ist die Unterscheidung zwischen  $K_{\mathrm{t}}$  und  $K_{\mathrm{f}}$  nicht sinnvoll, da die Naht tangential in das Grundblech einläuft.

Re	eche	enmodelle	mit
1	mm	Übergansı	adius

Rechenmodelle ohne
1 mm Übergangsradius

a 	$\frac{\sigma}{\max}$	K <sub>f</sub>	a —	$\frac{\sigma_{\mathtt{max}}}{}$	Kt
mm	N/mm	2	mm	N/mm²	
5.00	277	1.42	5.00	277	1.42
6.75	446	2.29		550	
8.50	514	2.64	8.50	559	2.87
10.25	524	2.69			
12.00	522	2.68	12.00	600	3.08

 $\sigma_{\text{nenn}} = 195 \text{ N/mm}^2$ 

Bezugsspannung für die Konzentrationsfaktoren ist die auf der Plattenoberseite eingeleitete Spannung von 195 N/mm<sup>2</sup>.

Bild 45 zeigt die Spannungskonzentrationsfaktoren graphisch. Man erkennt, daß  $K_{f}$  für Hohlkehlnähte sehr stark vom a-Maß bzw. Nahtanstiegswinkel abhängt. Überwölbte Kehlnähte führen erwartungsgemäß zu größeren Abminderungsfaktoren der Schwingfestigkeit als Hohlkehlnähte. Sie besitzen jedoch nach der hier angewendeten Methode die gleiche Schwingfestigkeit wie eine Dreieckskehlnaht. Der mit dem Modell 1 (a' = 12 mm) bestimmte

Spannungskonzentrationsfaktor

$$K_+ = 3.08$$

kann als obere Grenze für die untersuchte Verbindungsform angesehen werden.

In Bezug auf die Schweißnaht des Versuchsmodells haben die durchgeführten Berechnungen gezeigt, daß eine erhebliche Änderung der Nahtform erforderlich ist, um eine Verbesserte Schwingfestigkeit zu erzielen.

Berücksichtigt man, daß das Rechenmodell ein Ausschnitt des Gesamtmodells darstellt, und daß die am rechten Modellrand aufgebrachte Spannung gegenüber der Nennspannung im Gesamtmodell (133 N/mm²) bereits erhöht ist, dann ist der Abminderungsfaktor der Schwingfestigkeit im Verhältnis der Nennspannungen aus Detailmodell und Gesamtmodell zu korrigieren.

$$K_{f}' = 2.68 \cdot 195/133$$

$$K_{f}' = 3.93$$

Die Schwellfestigkeit nach Radaj beträgt dann

$$\sigma_{D}^{}$$
 = 270/3.93 = 68.7 N/mm<sup>2</sup>.

Eine Transformation dieses Wertes auf den Versuchslasthorizont  $\sigma_0=133~\rm N/mm^2$  liefert bei einer angenommenen Steigung der Zeitfestigkeitsgeraden von 3.75 /14/ eine Lebensdauer von

$$N = 2 \cdot 10^{6} \cdot (\sigma_{0}/\sigma_{D})^{-3.75}$$
$$= 2 \cdot 10^{6} \cdot (133/68.7)^{-3.75}$$

N = 168 000 Lastwechsel.

Die im Versuch erreichte Lastspielzahl bis zum erkennbaren Anriß von  $N=40\,000$  wird damit rechnerisch um etwa 400% überschätzt. Dies stellt eine für Lebensdauerabschätzungen übliche Abweichung dar.

in Bezug auf die Schwingfestigkeit gefundene Gleichwertigkeit der überwölbten Kehlnaht und der Dreieckskehlläßt zunächst einen Widerspruch zur Auswertung experimenteller Schwingfestigkeitsuntersuchungen an Kehlmit unterschiedlichen Nahtflankenwinkeln Olivier und Seeger /42/ vermuten. Hier wird bei Kreuzstößen auch für Kehlnähte mit Nahtflankenwinkeln größer 45° ein deutlicher Abfall der Schwingfestigkeit gefunden. Zur Klärung der Frage, ob die durchgeführten Lebensdauerabschätzungen nicht realistischen zu Ergebnissen führen, oder ob die Abweichungen unterschiedlichen Belastungen und Verbindungsformen zurückzuführen sind, wurden die erstellten BETSY-Rechenmodelle dahingehend geändert, daß am rechten Rand eine konstante Normalspannung aufgebracht wird und der Unterseite der Grundplatte Symmetriebedingungen angesetzt Es stellt damit ein werden. Doppelmodell dar. BE-Rechenmodell hierzu zeigt Bild 46 mit den gewählten Randbedingungen und den sich einstellenden Verformungen. Die Netzeinteilung und Abmessungen sind mit dem vorher Modell identisch. beschriebenen Der Verlauf der Tangentialspannungen (Bild 47) weicht deutlich von dem vorherigen (Bild 43) ab, auch wenn die Maximalwerte in beiden Fällen im 1 mm-Übergangsradius liegen.

Auf die Wiedergabe der Normalspannungen senkrecht zum Rand wird hier verzichtet.

Die nun für die gleichen Nahtformen bestimmten Abminderungsfaktoren der Schwingfestigkeit  $K_f$  sind im Diagramm (Bild 48) aufgetragen.

Man erkennt, daß sich durch die geänderte Randbedingung und Belastung überwölbte Kehlnähte rechnerisch schlechter verhalten als Dreieckskehlnähte. Damit ist der scheinbare Widerspruch zwischen der BE-Rechnung und den Versuchergebnissen aus /42/ aufgelöst.

Für einen direkten Vergleich sind die BE-Ergebnisse in Bild 49 der Versuchsauswertung gegenübergestellt. Die normierten Schwingfestigkeitswerte sind hier über dem Nahtflankenwinkel aufgetragen. Die Neigung des Streubandes beträgt k = 2.1 . Auf die Wiedergabe der einzelnen Versuchswerte wurde hier verzichtet. Die BE-Kurve für das symmetrische Doppelmodell paßt gut in das Streuband und verläßt es nur am Rand, für den es jedoch in /42/ auch nur wenige Versuchsergebnisse gibt. Dagegen verläuft die Kurve für das dem Versuchsmodell nachempfundene BE-Modell bis 45° wesentlich flacher als das Streuband und für größere Winkel praktisch horizontal.

Eine experimentelle Absicherung des hier gefundenen Ergebnisses wäre wünschenswert.

### 6 Zusammenfassung und Folgerungen

Ausgehend von dem Schadensfall der Wohnplattform "Alexander Kielland" wurden Untersuchungen des schadensursächlichen Hydrophonhalters in einer Strebe in Bezug
auf eine Reparatur und ihre Schwingfestigkeit durchgeführt. Die Reparatur erfolgte unter Wasser mit dem
"water curtain-local dry spot process".

Sie wurde in der Weise durchgeführt, daß der geschädigte Hydrophonhalter mittels Brennschnitt herausgetrennt und der Ausschnitt mit einem Flicken (Dopplung) abgedeckt wurde.

Als kritische Bereiche haben sich zum einen die durch das Heraustrennen des defekten Teils entstandenen Brennschnittkanten im seitlichen Bereich herausgestellt. Eine weitere anrißkritische Stelle liegt vor der Dopplung an der quer zur Kraftrichtung verlaufenden Kehlnaht zwischen Dopplung und Grundplatte. Ein glatter Brennschnitt bzw. eine gute Kehlnaht ist in diesen Bereichen besonders wichtig. Bei der Wahl der Zündstellen sollte dies berücksichtigt werden.

Im Schwingfestigkeitsversuch erwies sich der Brennschnitt des Versuchsmodells aufgrund der geringen Rauhigkeit als nicht gefährdet.

Fertigungsbedingter Schweißverzug entlastet den seitlichen Bereich und führt zu erhöhter Biegespannung vor der Dopplung.

Nach der DIN 15018 kann die Flickenschweißung in den Kerbfall K4 eingeordnet werden.

Ausgehend vom Versuchsergebnis wurde mit einer linearen Schadensakkumulationsrechnung nach Miner eine Lebensdauer der Flickenschweißung unter Betriebsbeanspruchung abgeschätzt, die zwischen 2 und 5 Jahren liegt.

Dieses Ergebnis und die Auswertung nach DIN 15018 führen auf eine Schwingfestigkeit der Reparatur, welche die Anforderungen einer Betriebsbeanspruchung nicht erfüllen. Hierfür ist jedoch die Konstruktion und nicht die Qualität der Reparaturnaht verantwortlich.

Mit einer Variantenrechnung wurde nach einer günstigeren Ausschnittsform als die Flicken- und im Experiment getestete gesucht. Ein in Kraftrichtung elliptisch ausgeführter Ausschnitt hat sich dabei in Bezug auf ein geringes Spannungsniveau an der seitlichen Brennschnittkante als günstig erwiesen. Dagegen wurde für den Bereich vor der Dopplung keine nennenswerte Verbesserungsmöglichkeit gefunden.

Um den Einfluß der Schweißnahtform an dieser Stelle auf die Schwingfestigkeit abzuschätzen wurde abschließend mit Hilfe der Boundary-Element-Methode eine Lebensdauerbetrachtung nach einem von Radaj vorgeschlagenen Konzept durchgeführt. Für die im Experiment untersuchte spezielle Verbindungsform von Dopplung und Grundplatte mit hohem Biegeanteil hat sich gezeigt, daß überwölbte Kehlnähte und Dreieckskehlnähte gleichwertig sind. Erst der Übergang zu Hohlkehlnähten führt zu einer deutlichen Verbesserung der Schwingfestigkeit.

Abschließend muß erwähnt werden, daß die Verwendung von Dopplungen zum Abdecken von Löchern ungünstiger ist als das Belassen eines elliptischen Lochs und deshalb nur dort sinnvoll ist, wo die Dopplung Dichtigkeitsaufgaben zu übernehmen hat.

Die beste Lösung aus der Sicht der Betriebsfestigkeit ist das Einsetzen eines Reparaturstücks. Vom Fertigungsaufwand ist der in dieser Arbeit untersuchte Flicken jedoch günstig, da er große Toleranzen zuläßt.

### 7 Literatur

- /1/ DIN 15018 Krane Grundsätze für Stahltragwerke Berechnungen 1974
- /2/ Eurocode No. 3
   Design of Steel Structures
   Part 1 General Rules and Rules for Buildings.
   Edited draft, Issue 3, April 1990
- /3/ Germanischer Lloyd

  Vorschriften für Klassifikation und Bau von stählernen Seeschiffen

  Kapitel 2 Schiffskörper 1986
- /4/ Germanischer Lloyd

  Vorschriften für Konstruktion und Prüfung von

  Meerestechnischen Bauwerken 1976
- /5/ Det Norske Veritas
  Rules for the Design, Construction and Inspection of
  Offshore Structures 1977, 1981
- /6/ Lloyd's Register of Shipping
  Rules and Regulations for the Classification of
  Mobile Offshore Units 1984

- /7/ Næsheim, T.; Moan, T.; Beckvik, P.;
   Øveraas, S.; Kloster, A.
   The "Alexander L. Kielland"-accident
   Norwegian Public Reports~ NOU 1981: 11
- /8/ Almar-Næss, A.; Haagensen, R.J.;
  Lian, .B; Simonsen, T.
  Matallurgical and Fracture Analyses of the
  Alexander L. Kielland Platform
  International Institute of Welding,
  IIW-Doc. XIII-1066-82
- /9/ Paetzold, H.
  Schwingfestigkeitsverhalten ausgewählter Details aus der Schiffskonstruktion
  Forschungszentrum des Deutschen Schiffbaus
  Bericht Nr. 159/1985
- /10/ Gurney, T.R.; Maddox, S.J.
  A Re-Analysys of Fatigue Data for Welded Joints
  in Steel
  The Welding Institut Research Report E/44/72
- /11/ Deutsche Bundesbahn

  Vorschrift für Eisenbahnbrücken und sonstige Ingenieurbauwerke

  DS804 Ausgabe 1983
- /12/ Schweißtechnik 1
  Normen über Begriffe, Schweißzusätze, Fertigung und Sicherung der Güte.
  DIN Deutsches Institut für Normung e.V. 1978

/13/ Radaj, D.

Unendlich ausgedehnte Scheibe mit stirnseitig angeschlossenen; beidseitigen Rechteckpflastern unter Zugbelastung - Ein Beitrag zur Spannungsermittlung.

Dissertation an der Fakultät für Maschinenwesen der TH Braunschweig 1964

- /14/ Olivier, R.; Ritter, W.
  Wöhlerlinienkatalog für Schweißverbindungen
  aus Baustählen.
  DVS Berichte 56/ I 1979 56/V 1985
- /15/ Stevenson, A.W.; Sleveland, A.

  Damaged Brace on Offshore Platform

  Replaced Using Hyperbaric Welding

  Metal Construction December 1983, January 1984
- /16/ Thomas, W.J.F.

  Welded subsea structural repairs in the North Sea

  Metal Construction February 1986
- /17/ Cochrane, D.J.; Swetnam, D.
  Wet Welding A Viable Technique ?
  Metal Construction Nov. 1986
- /18/ Gooch, T.G.

  Properties of underwater welds

  Part 1 Procedurals trials

  Part 2 Mechanical properties

  Metal Construction March 1983, April 1983
- /19/ ADINA, ADINA-IN, ADINA-PLOT

  A Finite Element Program for Automatic

  Dynamic Incremental Nonlinear Analysis

  Users Mannual 1987

- /20/ Hoffmeister, H.; Küster, K.; Böllinghaus, T.; Bunes, E.
  Repair welding of tubular structures by
  an underwater low hydrogen wet fillet weld system
  Proceedings of Second International Conference
  'Welding of Tubular Structures'
  Bosten, 1984

  IIW Pergament Press p. 145-150
- /21/ Küster, K.; Hoffmeister, H.; Schafstall, H.G.
   Hydrogen pick up during welding by using an advanced
   wet welding technique (local dry spot)
  2. International GUSI-Symposium
   -Underwater Technology15-16 June 1987 Geesthacht/Hamburg, p. 9/1 9/27
- /22/ Haibach, E.

  Die Schwingfestigkeit von Schweißverbindungen
  aus der Sicht einer örtlichen Beanspruchungsmessung
  Laboratorium für Betriebsfestigkeit, Darmstadt.
  Bericht Nr. FB77(1968)
- /23/ Müsgen, B.
  Entwicklung von Stählen für die Offshoretechnik
  Institut für Schiffbau der Universität Hamburg
  21. Fortbildungskurs 1985
- /24/ Buxbaum, O.

  Betriebsfestigkeit

  Sichere und wirtschaftliche Bemessung
  schwingbruchgefährdeter Bauteile

  Verlag Stahleisen mbH 1986
- /25/ Gaßner, E.; Griese, F.W.; Haibach, E.
  Ertragbare Spannungen und Lebensdauer einer
  Schweißverbindung aus Stahl St 37 bei verschiedenen
  Formen des Beanspruchungskollektivs.
  Archiv für das Eisenhüttenwesen, Heft 3, März 1964

- /26/ Sonsino, C.M.; Böhme, D.; Kulka, C.; Helwig, R.
  Slope of the S-N-curve and high-cycle fatigue
  behaviour of longitudinal stiffener in as-welded and
  stress-relieved states.
  International Institute of Welding,
  IIW-Doc. XIII-1242-87
- /27/ von Selle, H.

  Schwingfestigkeit unter Wasser geschweißter

  Anodenhalter

  Institut für Schiffbau der Universität Hamburg

  IfS-Schrift Nr. 2382
- /28/ Haibach, E.

  Betriebsfestigkeit

  Verfahren und Daten zur Bauteilberechnung

  VDI-Verlag 1989
- /29/ Zenner, H.; Schütz, W.

  Betriebsfestigkeit von SchweißverbindungenLebensdauerabschätzungen mit

  Schadensakkumulationshypothesen.

  Schweißen & Schneiden Heft 2, 1974
- /30/ Germanischer Lloyd

  Kapitel 9 Vorschriften für Klassifikation und Bau

  von Schiffen zur Beförderung verflüssigter Gase als

  Massengut.

  1984
- /31/ Peterson, R.E.

  Stress Concentration Design Factors.

  John Wiley & Sons, INC. New York 1953

- /32/ Engineering Science Data Unit, No. 65004
  Geometric Stress Concentration Factors
  Unreinforced Rectangular Holes with
  Rounded Corners in Infinite Flat Plates
  Royal Aeronautic Society 1965
- /33/ Radaj, D.; Schilberth, G.

  Kerbspannungen an Ausschnitten und Einschlüssen.
  Fachbuchreihe Schweißtechnik, Band 69,

  Deutscher Verband für Schweißtechnik 1977.
- /34/ Radaj, D.

  Kerbspannungen an Öffnungen und starken Kerben

  Deutscher Verband für Schweißtechnik

  DVS Berichte Band 9 1970
- /35/ Radaj, D.

  Gestaltung und Berechnung von Schweißkonstruktionen,
  Ermüdungsfestigkeit.

  Fachbuchreihe Schweißtechnik Vol. 82. DVS, 1985
- /36/ Radaj, D.
   Notch stress proof for fatigue resistant welded
   structures.
   International Institute of Welding,
   IIW-Doc. XIII-1157-85
- /37/ Neuber, H.
  Über die Berücksichtigung der Spannungskonzentration
  bei Festigkeitsberechnungen.
  Konstruktion 20, p.245-251, 1968
- /38/ Integralgleichungsmethode Vorhaben 209 und 245.

  Abschlußbericht I, II und III,

  Forschungsvereinigung Verbrennungskraftmaschinen, 1982

- /39/ EDV-Programmsystem BETSY

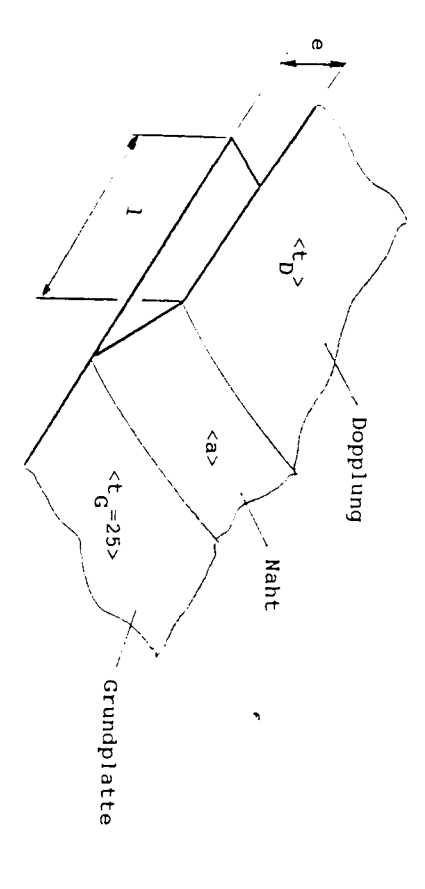
  (Boundary Element code for thermoelastic Systems).

  Users Manual, 1982
- /40/ Schafstall, H.G.; Petershagen, H.; von Selle, H.
  Investigations into the Fatigue Strength of butt
  Welds made under hyperbaric Conditions
  International Symposium on Tubular Structures
  Lappeenranta, Finland, September 1.-2., 1989
- /41/ Petershagen, H.

  Erfahrungen mit dem Kerbspannungskonzept
  "Kerben und Betriebsfestigkeit".

  15. Vortragsveranstaltung des DVM-Arbeitskreises
  Betriebsfestigkeit, Ingolstadt 18./19. Okt. 1990
- /42/ Olivier, R.; Seeger T.

  Einfluß des Nahtanstiegswinkels auf die
  Schwingfestigkeit von Schweißverbindungen Einheitliche Auswertung im Schrifttum
  veröffentlichter Untersuchungsergebnisse.
  TH Darmstadt, FG Werkstoffmechanik,
  Bericht Nr. FF-2/1989

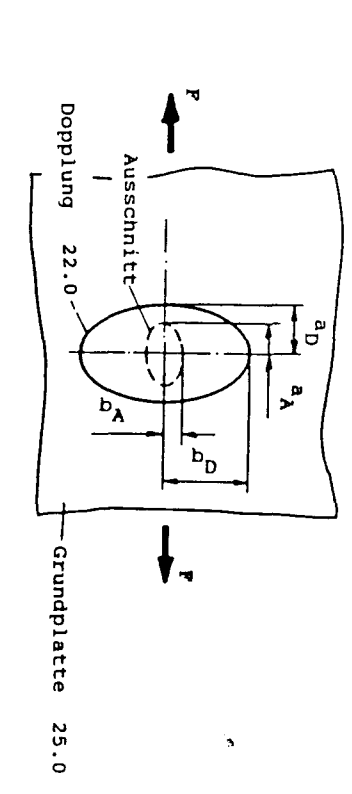


			1		1	1		1			1 1 1 1 1	1				11111	1	
	Ausc	Ausgangs-																
	version	sion														· - <del>-</del>	- <del>-</del>	
Version		<b>-</b>	2		ω 	4.	<b>5</b>	6	7	~ <b>-</b>	9	10	11	12	13	14	15	16
Dopplungsdicke	t [cm]   2.2   2.5   2.8   0   0.5   1.0   1.5	2.2	2.5	5 - 2		0	0.5	1.0	1.5	2	2.5	3						
Abstand der neutralen Fasern						! !										~		
von Dopplung und Grundplatte	e [cm]   2.35	2.35				_	1.5	/   1.5   1.75   2.0   2.25	2.0	2.25	2	.5  2.75						
Nahtdicke	a [cm]   2.5	2.5				\	0.57	/   0.57   1.14   1.70   2.30   2.80   3.40   2.0   3.0	1.70	2.30	2.80	3.40	2.0	3.0			~	
Dopplung in der Mitte abgesenkt		nein								- <b>-</b>					ja	ja ja		
Überlappungslänge von Dopplung und Grundplatte	] 1 [cm]	7.5			- <b></b>			     									 5.5	5.5 - 9.5
		1	1	-	-		1 1 1									1	11111	1 1 1 1

Tabelle 1 Varianten mit kreisrunden Ausschnitts- und Dopplungsformen

nicht ausgefüllte Felder sind mit der

Version 1 identisch



Ausschnittsellipse Dopplungsellipse		in Kraftrichtung   in Kraftrichtung	<pre>quer zur Kraftrichtung   quer zur Kraftrichtung  </pre>	in Kraftrichtung guer zur Kraftrichtung
Version		17   18   19   20   21   22   23   24   17   1	21   22   23   24	25   26   27   28
Ausschnittsabmessungen	a <sub>A</sub> [cm]	22.0 24.0 26.0 28.0 18.0 16.0 14.0 12.0	18.0 16.0 14.0 12.0	20.88 21.75 22.60 23.45
	b <sub>A</sub> [cm]	18.0   16.0   14.0   12.0   22.0   24.0   26.0   28.0	22.0 24.0 26.0 28.0	19.15 18.28 17.41 16.65
Dopplungsabmessungen	a <sub>D</sub> [cm]	29.5 31.5 33.5 35.5 25.5 23.5 21.5 19.5	25.5 23.5 21.5 19.5	26.63   25.78   24.90   24.05
	b <sub>D</sub> [cm]	25.5 23.5 21.5 19.5 29.5 31.5 33.5 35.5	29.5 31.5 33.5 35.5	28.35   29.22   30.10   30.95

Tabelle 2 Varianten mit elliptischen Ausschnitts- und Dopplungsformen

## Tabelle 3 Formzahlen

Bereich B

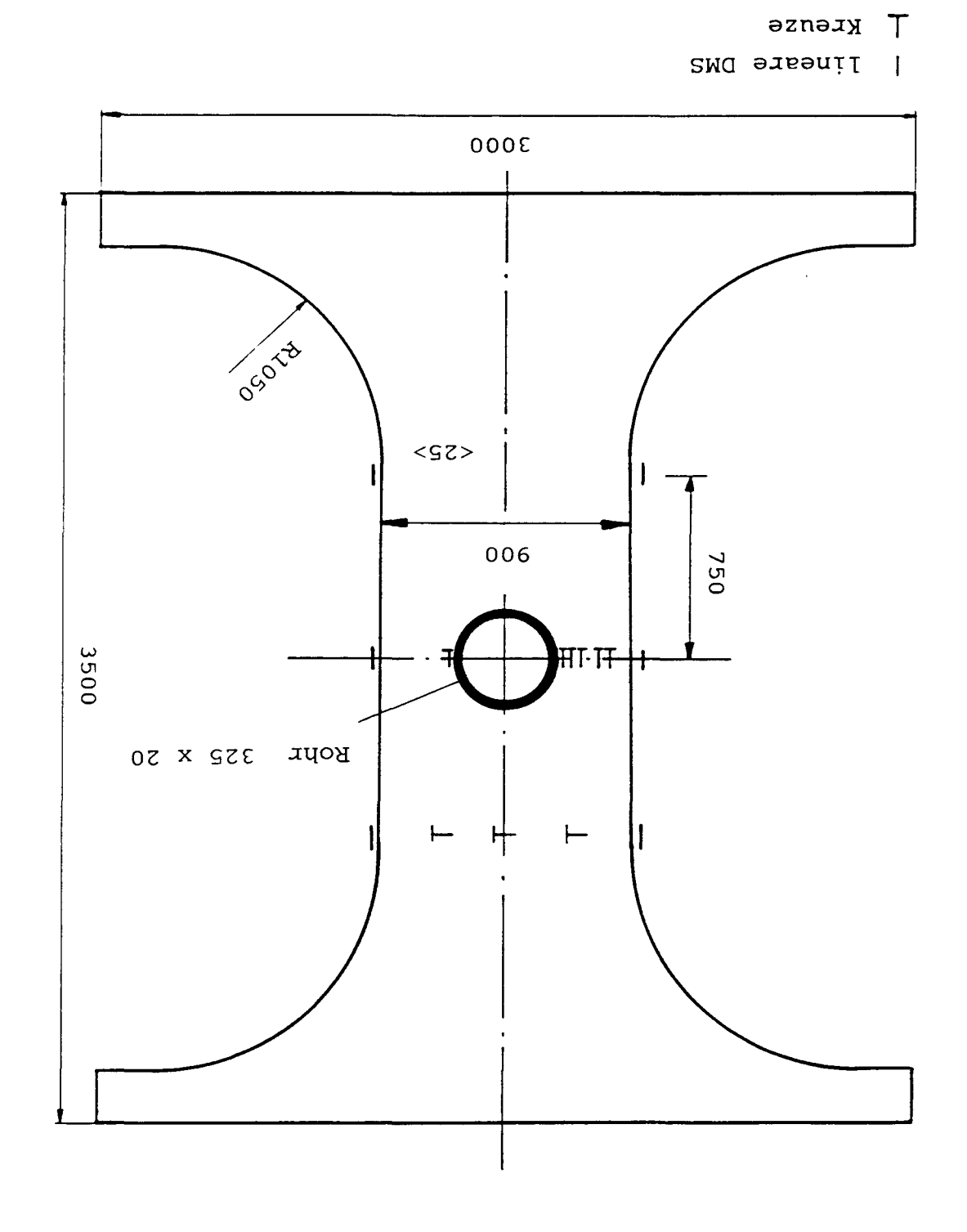
Bereich A

Version

Parameter

1 "Alexander Kielland" mit Strebe D-6 und Hydrophonhalter

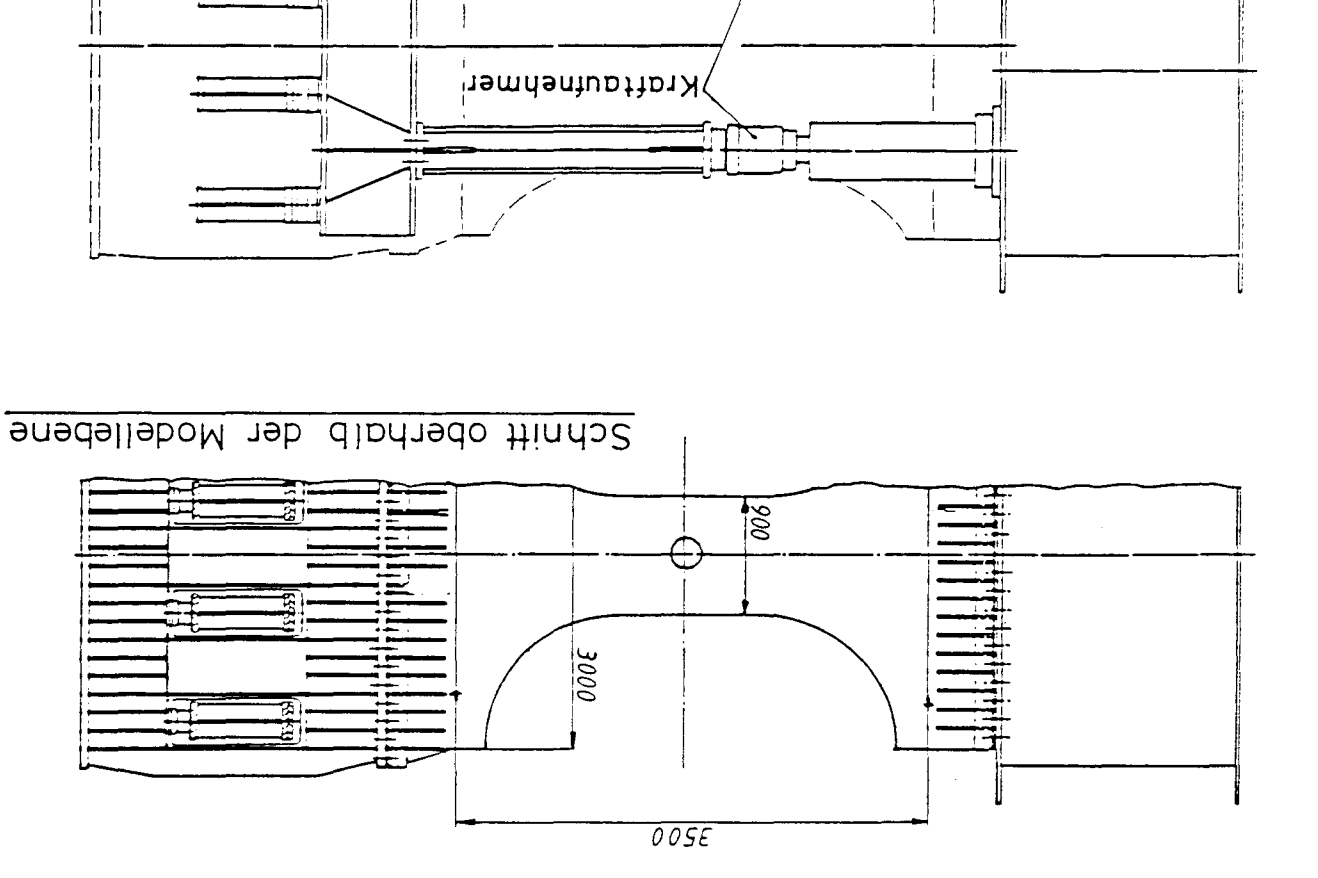
Bild



Draufsicht

Seitenansicht

bewegliches Widerlager



Nodell

Hydraulik – Zylinder festes Widerlager

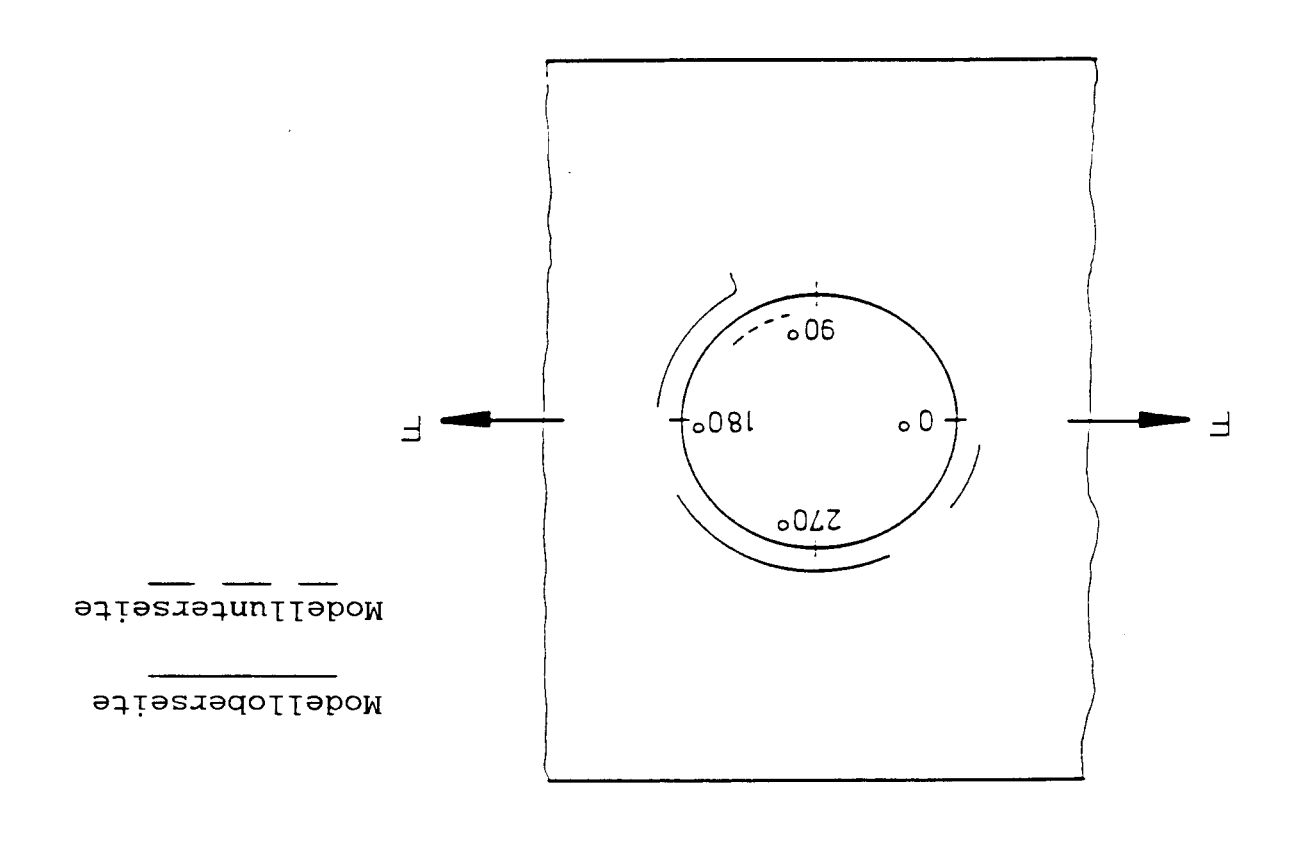
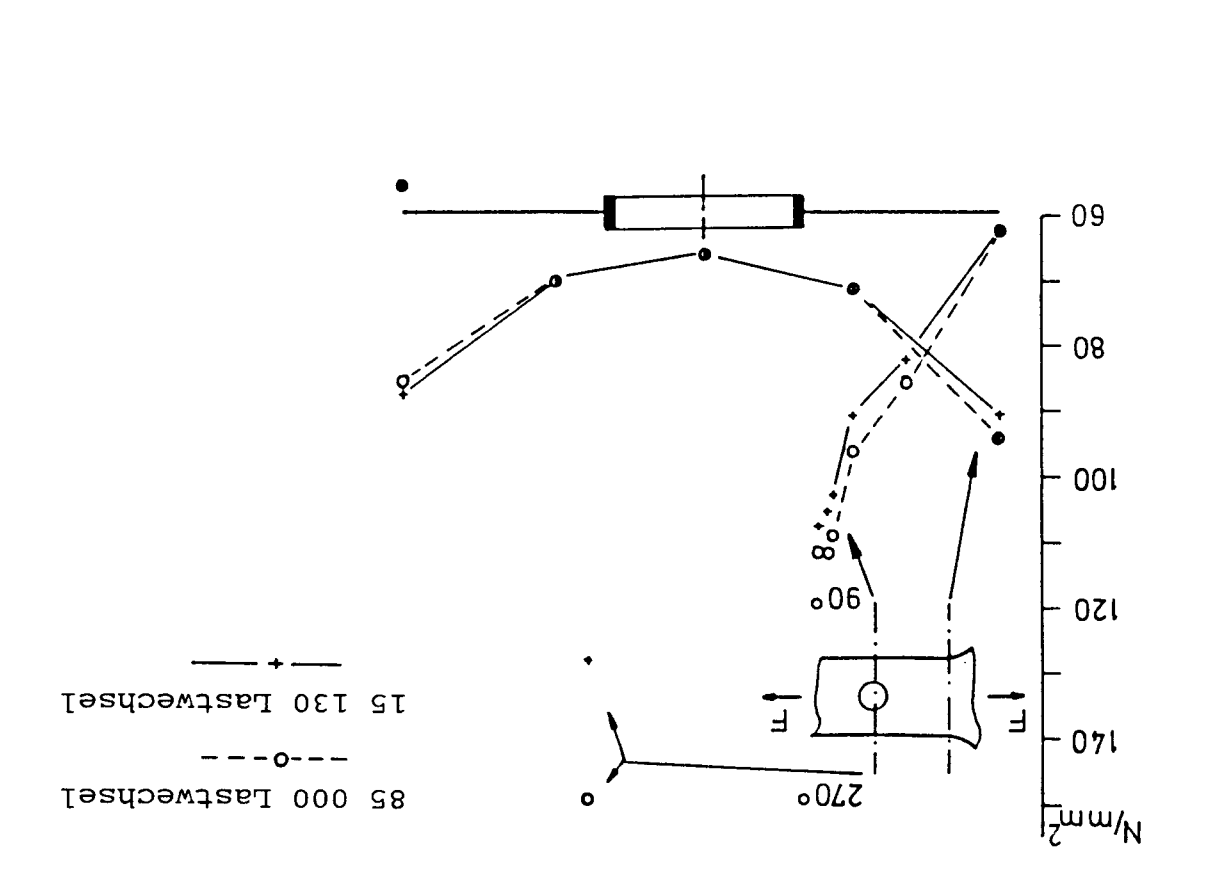


Bild 4 gemessene Spannugen



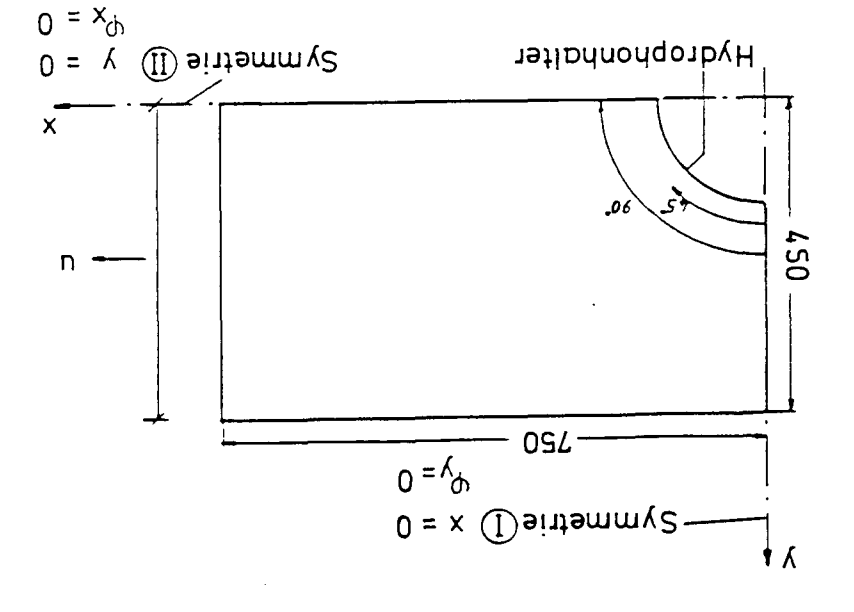
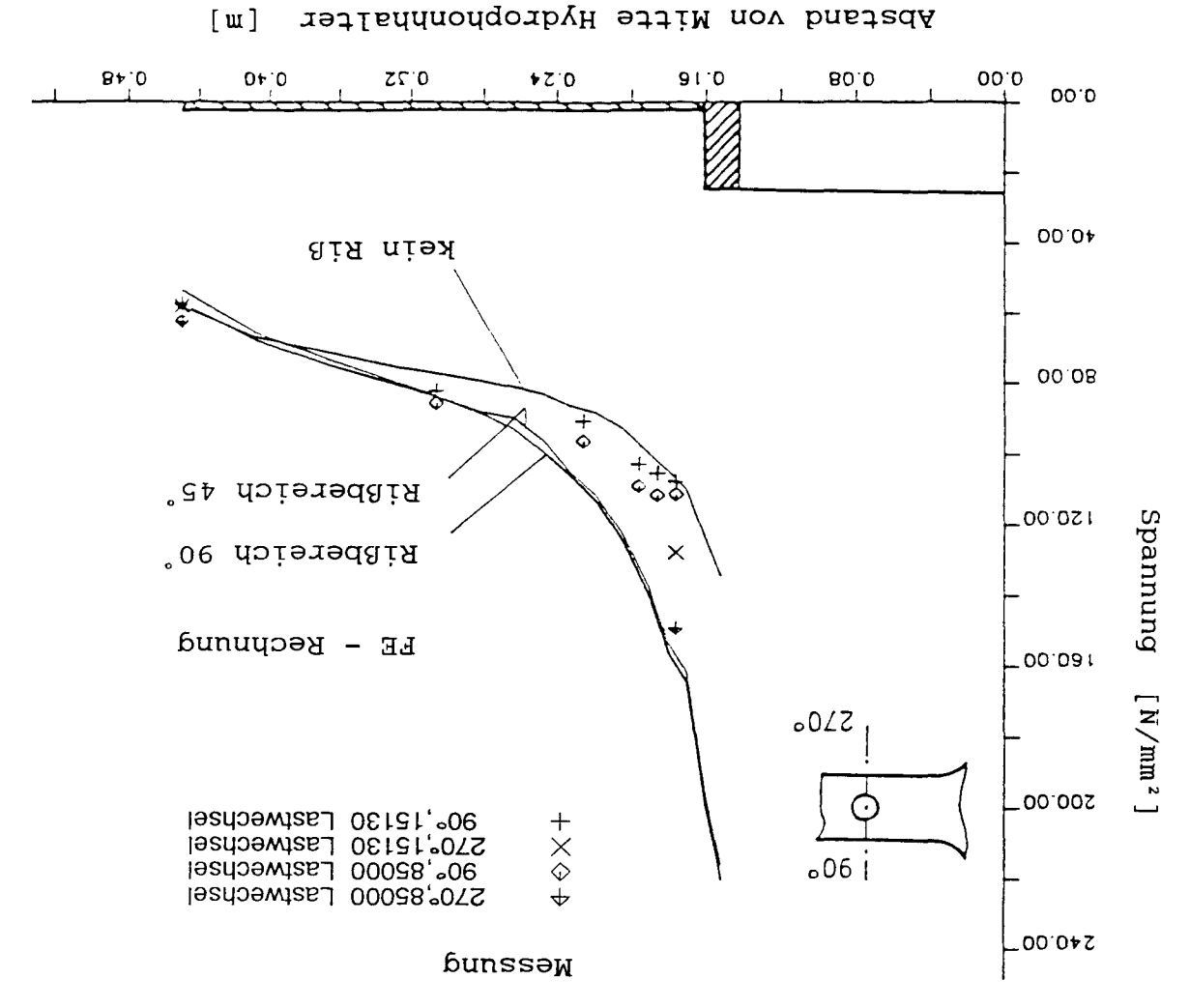
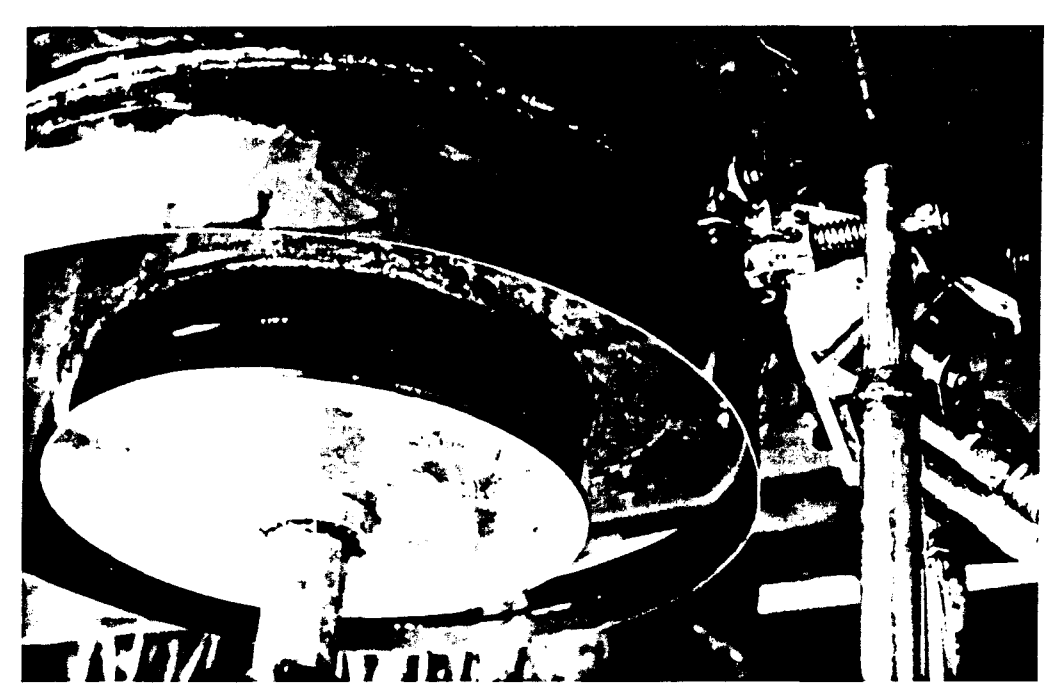
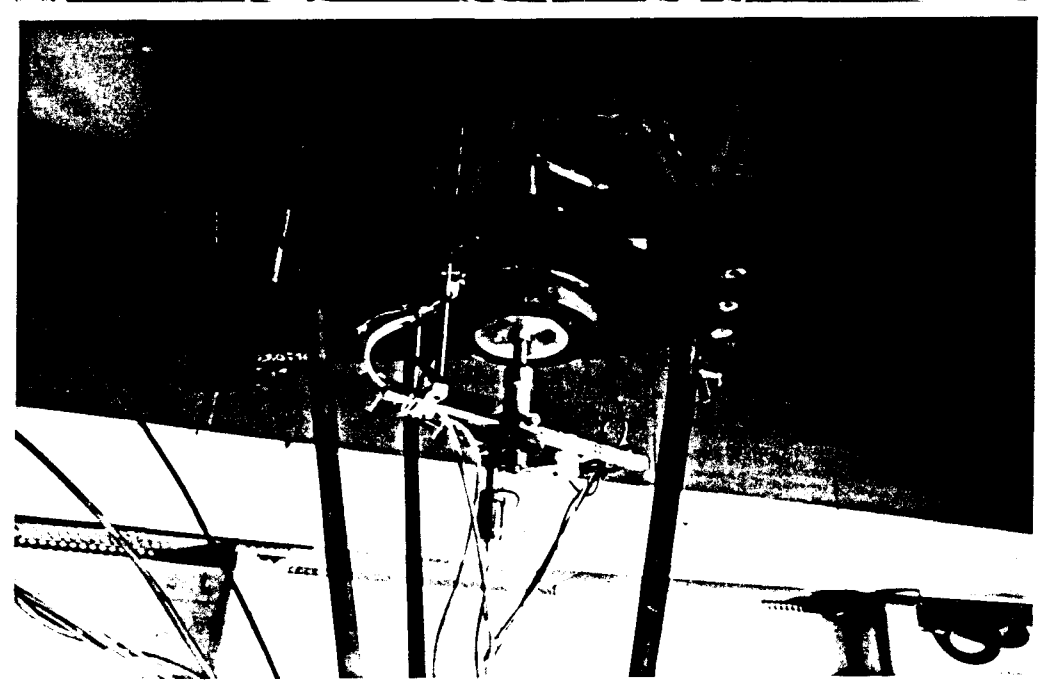


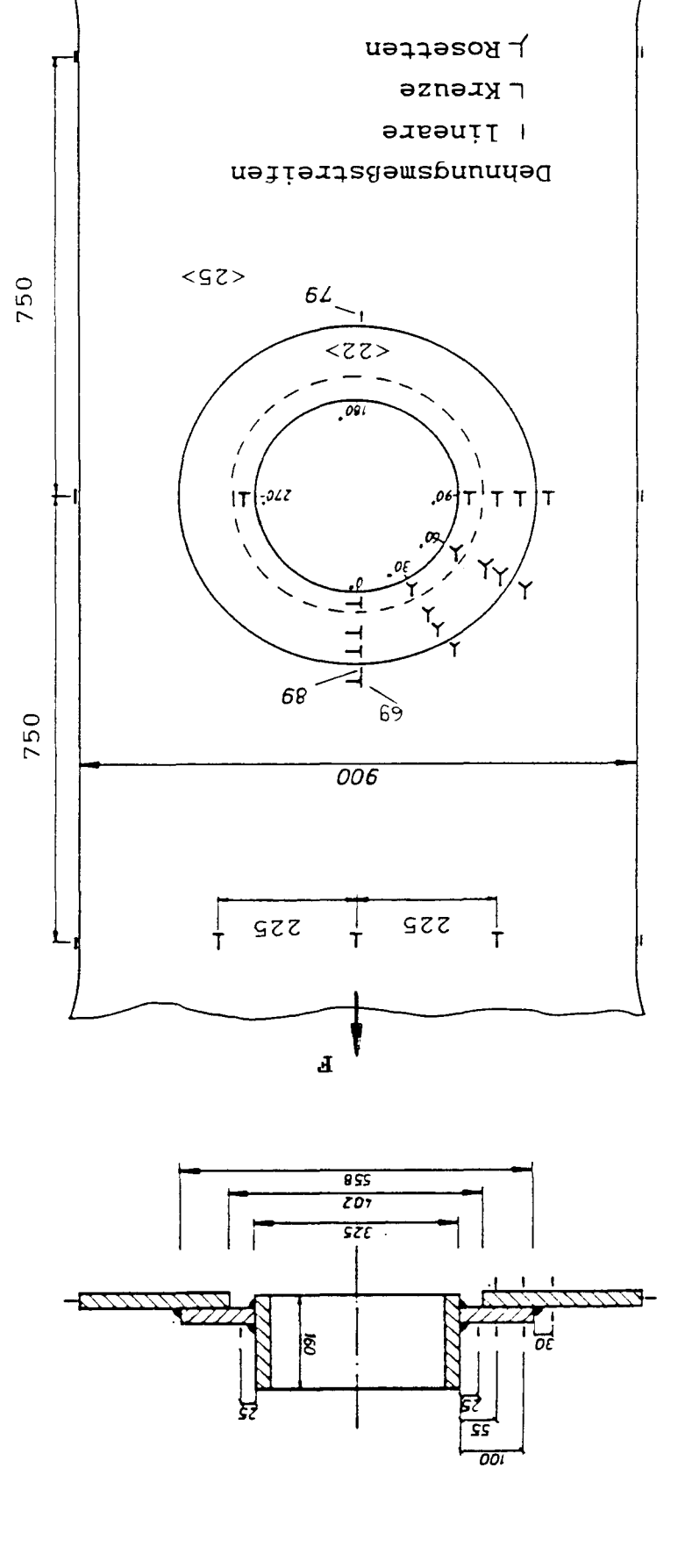
Bild 6 Abmessungen des Rechenmodells











ā

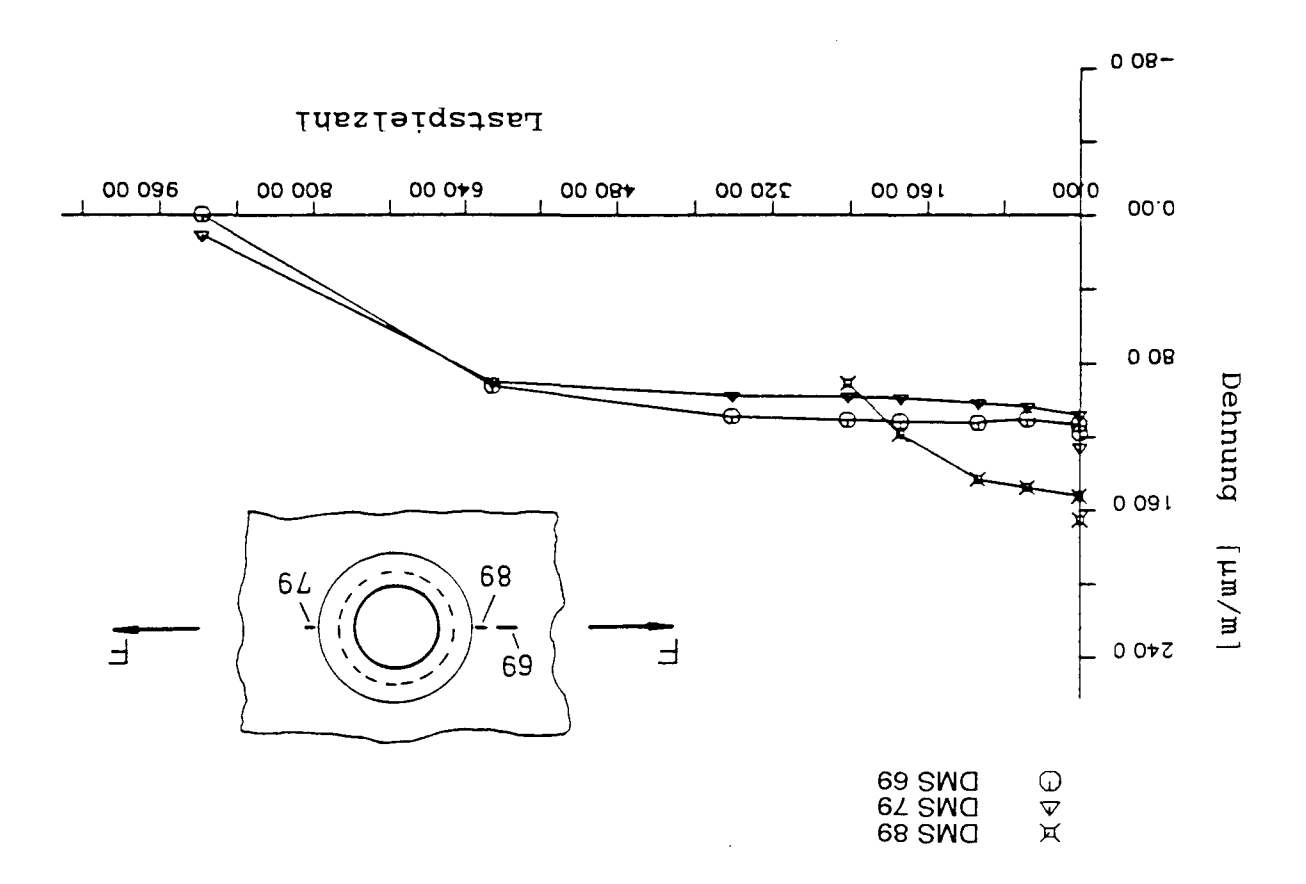
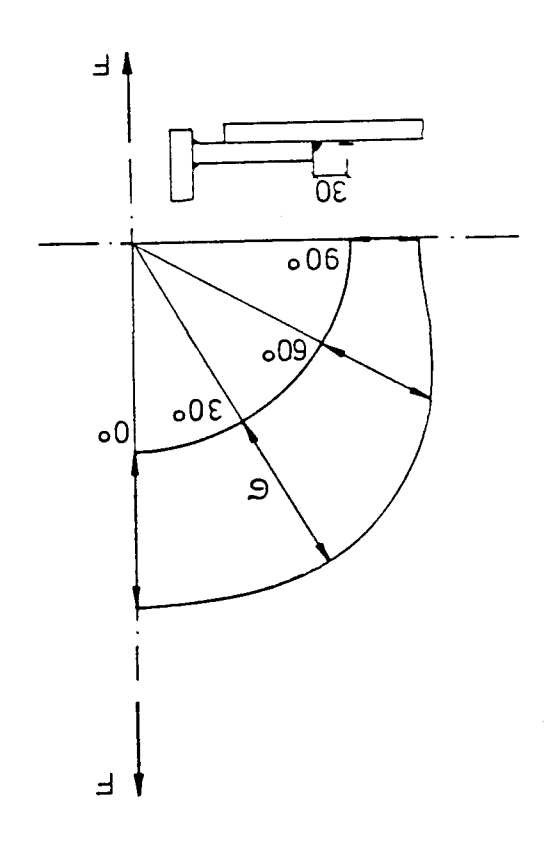
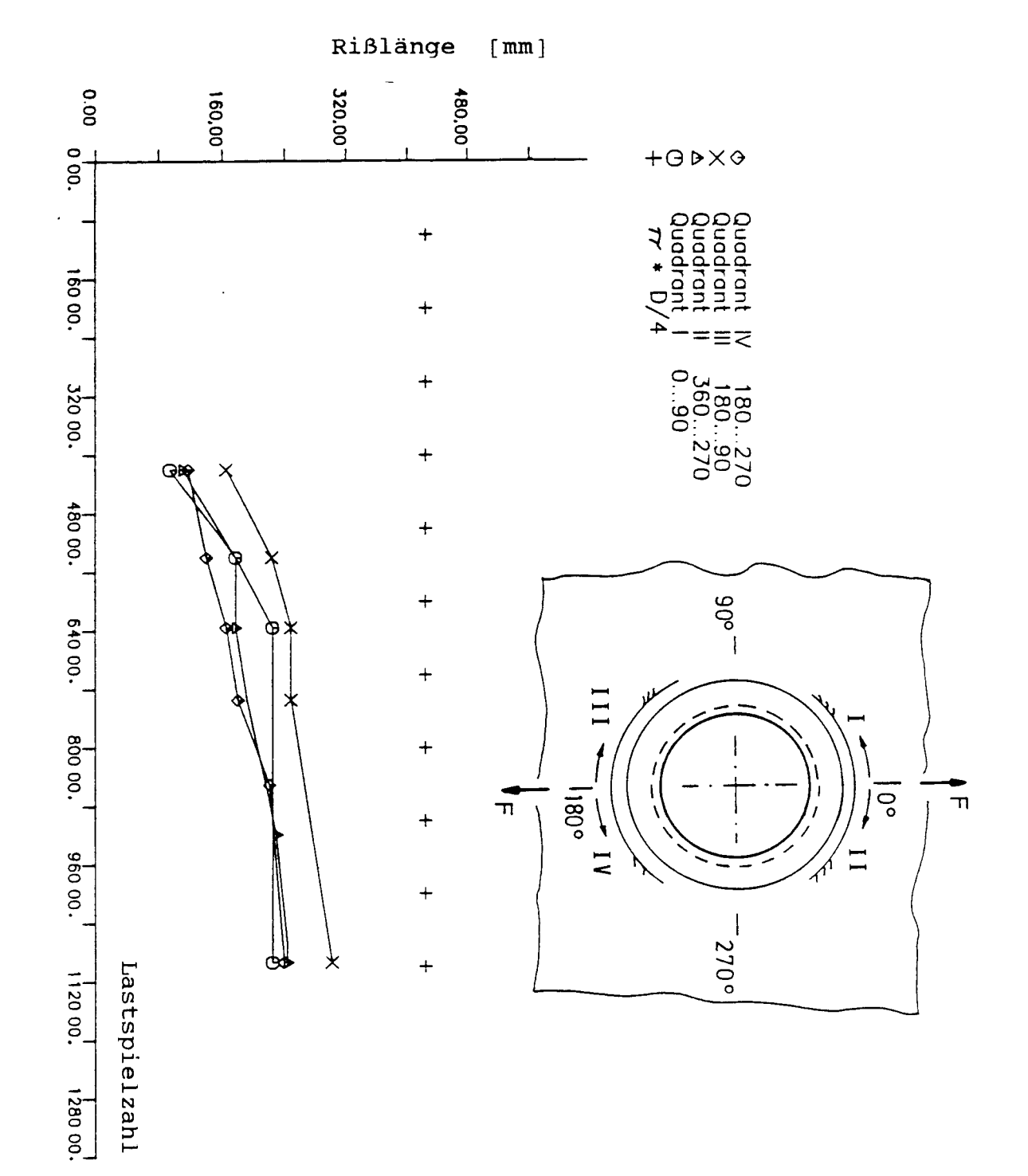


Bild 10 gemessene Hauptspannungen vor dem Flicken





# Bild 14 Flickenschweißung nach dem Versuch

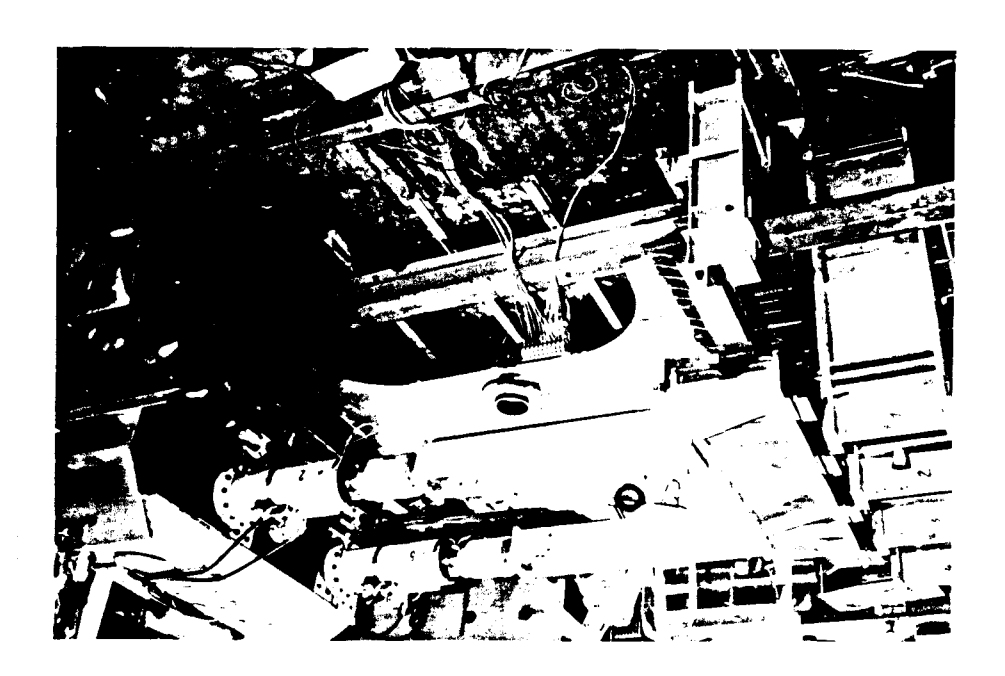
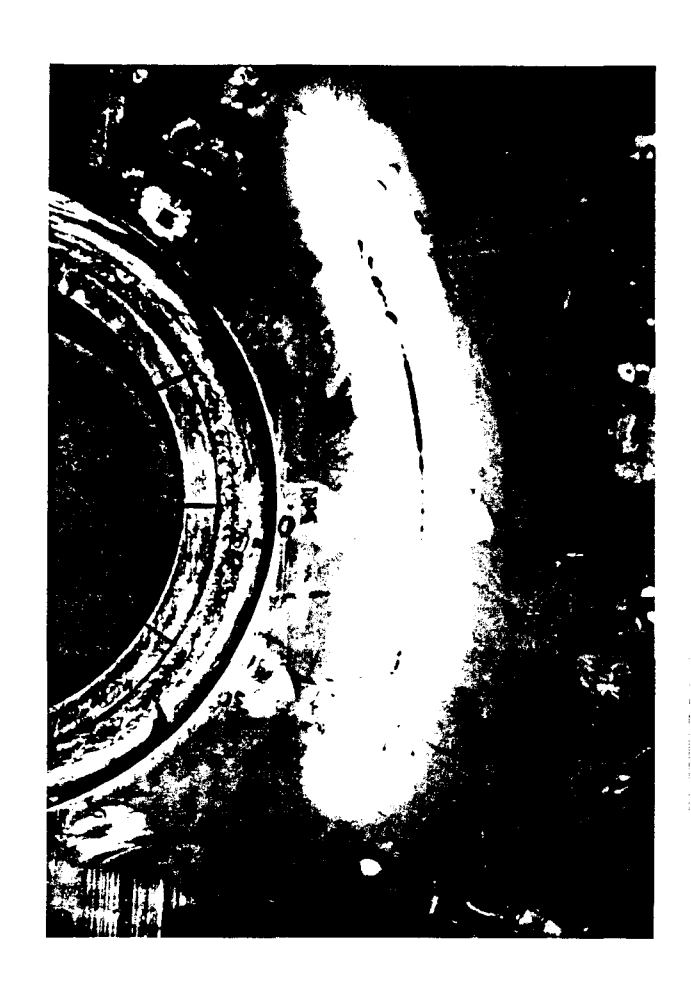
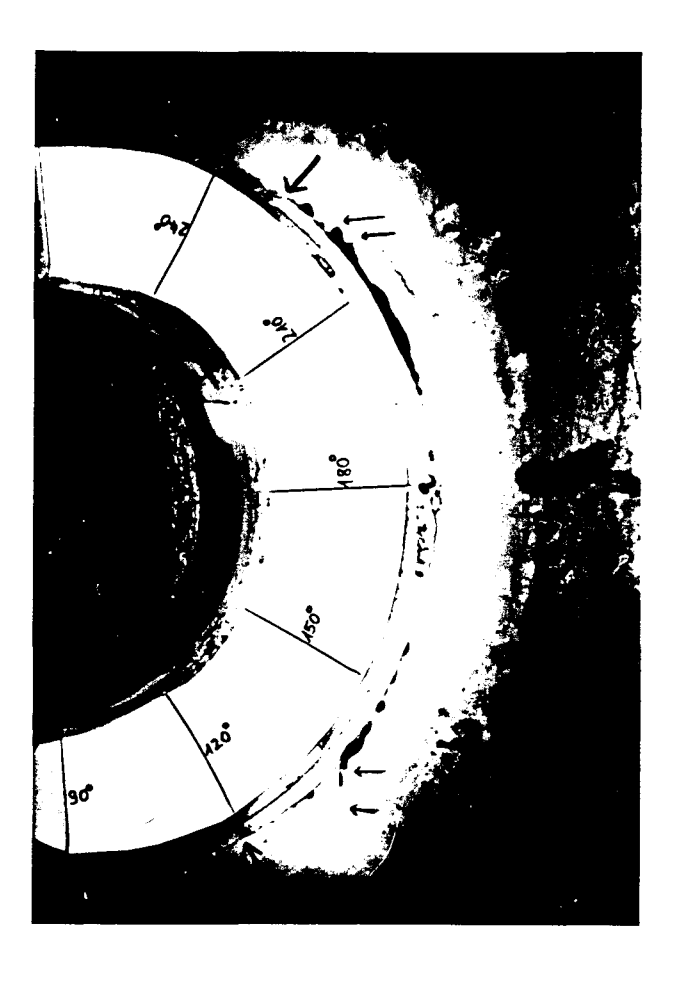


Bild 13 Versuchsanlage





Unterseite

Oberseite

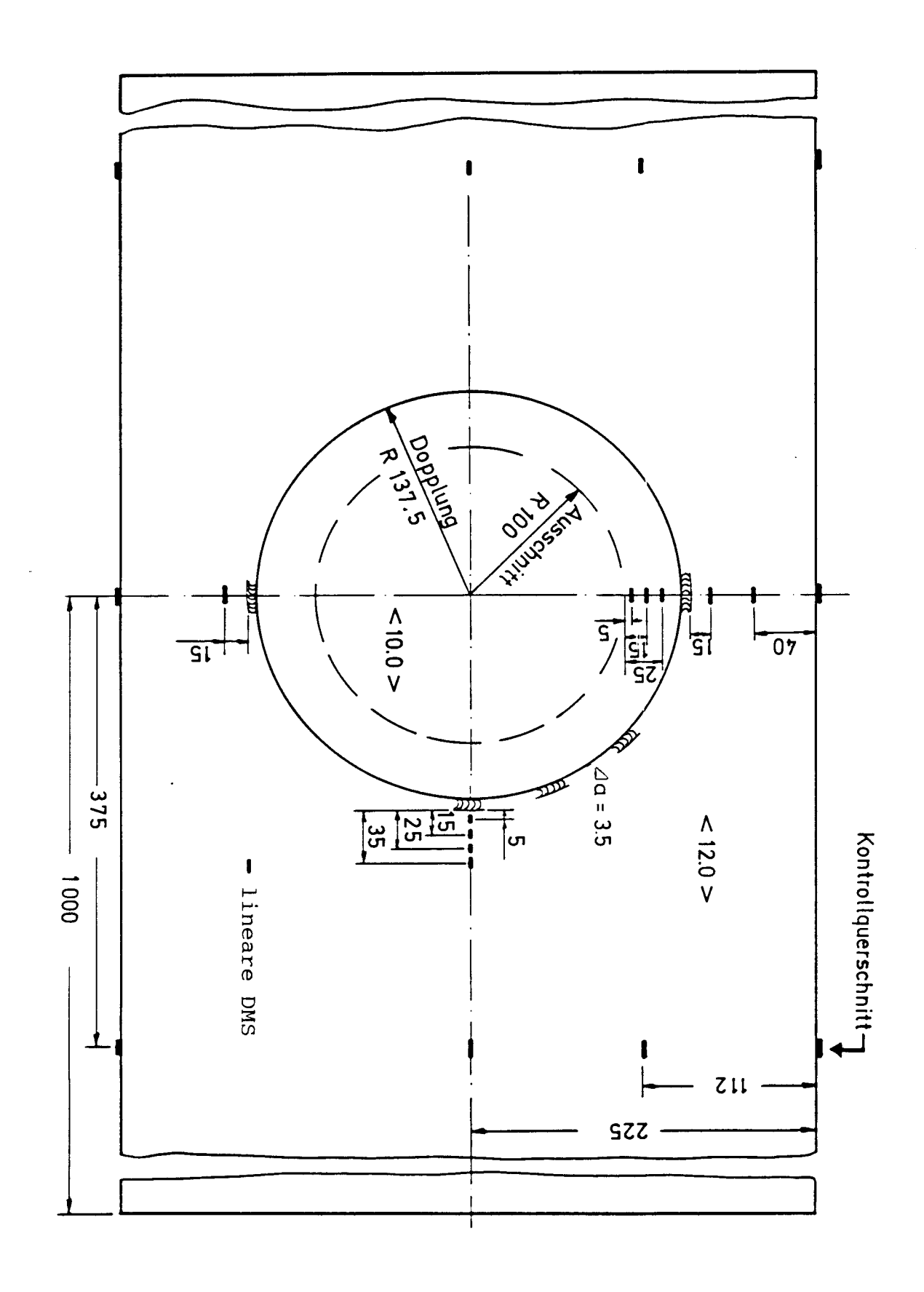


Bild 18 FE-Modell zur Bestimmung der Versuchsmodelllänge

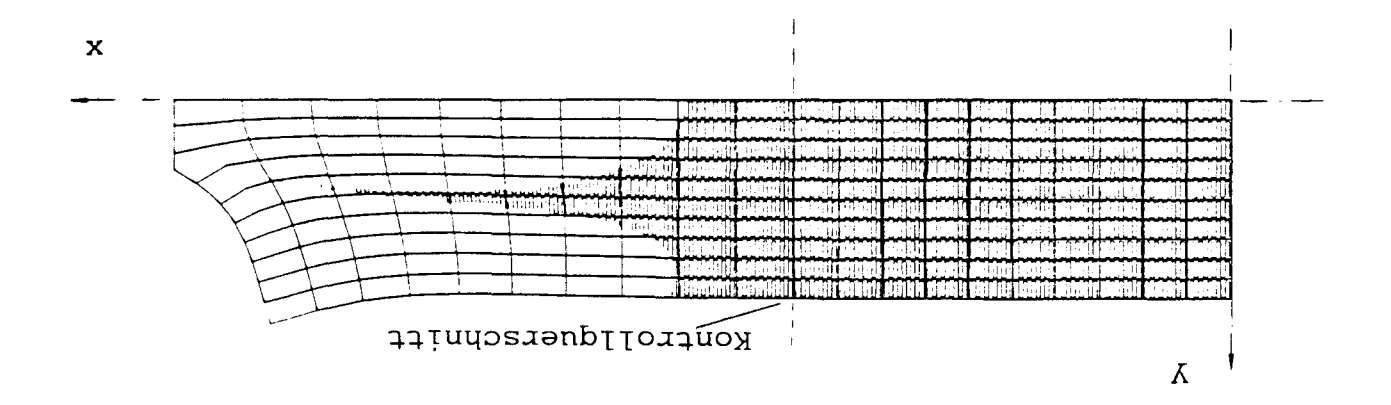


Bild 17 FE-Modell zur Bestimmung der Versuchsmodelllänge

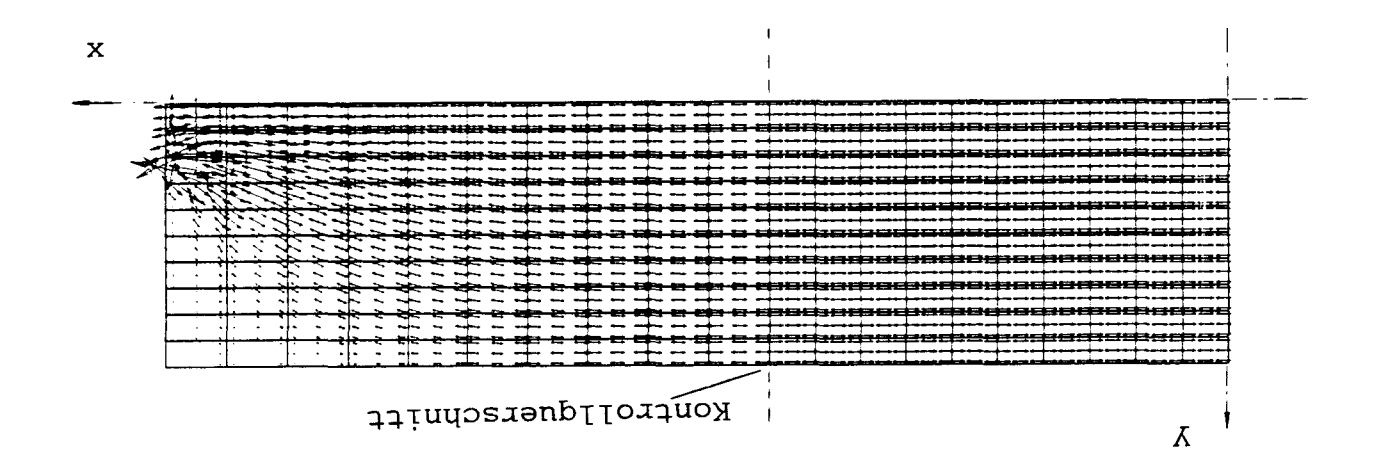


Bild 16 FE-Modell zur Bestimmung der Versuchsmodelllänge Netz

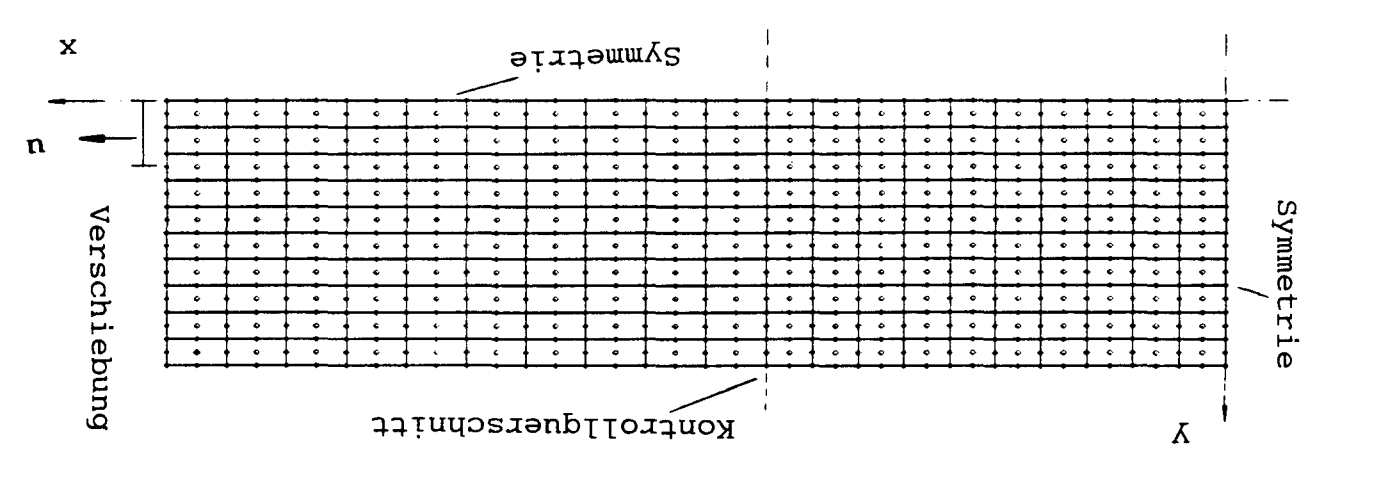
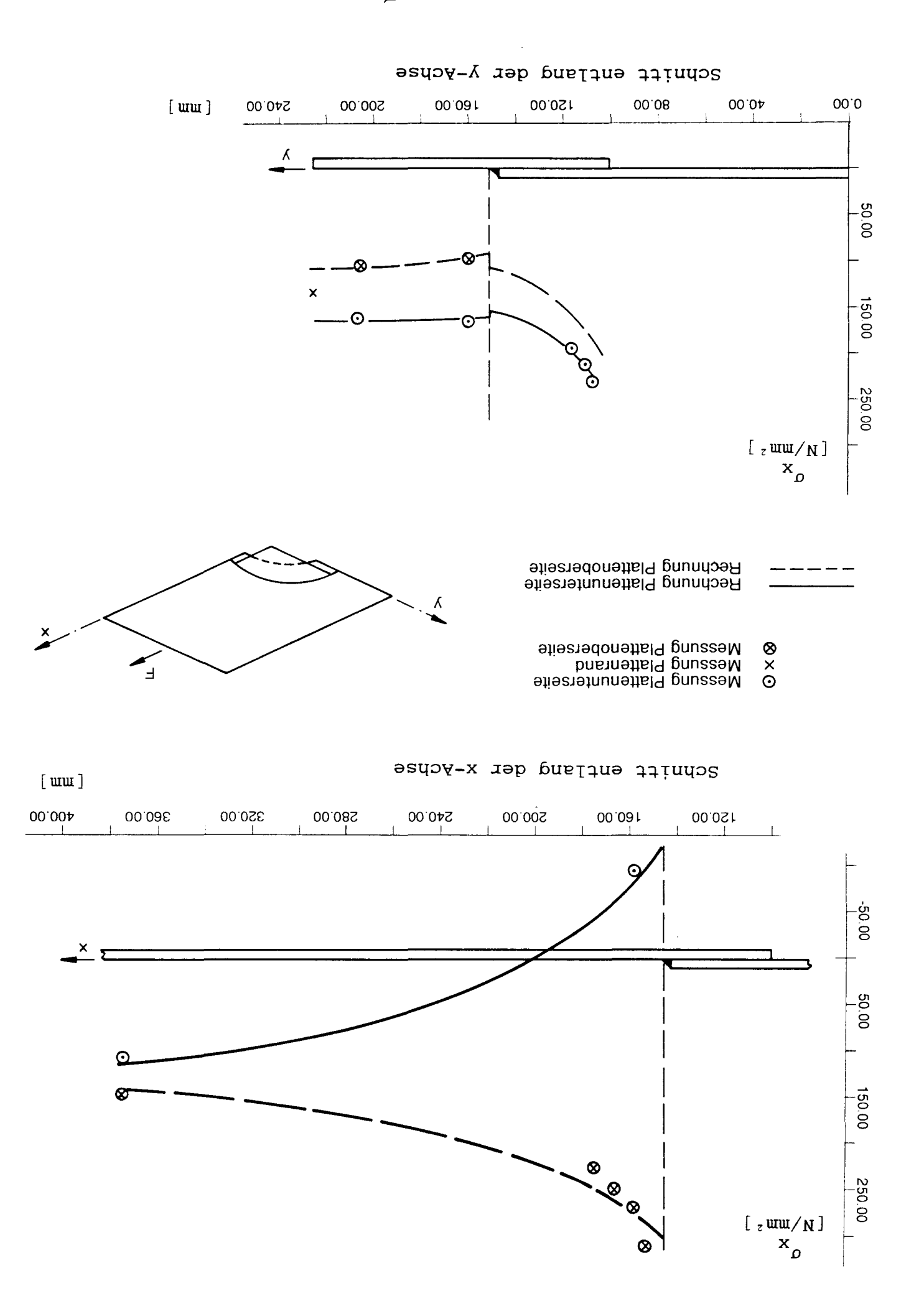


Bild 19 Vorverformung des Versuchsmodells



a

 $\begin{array}{c} 120 \\ 103 \end{array}$ 137

21930 12366

234

24

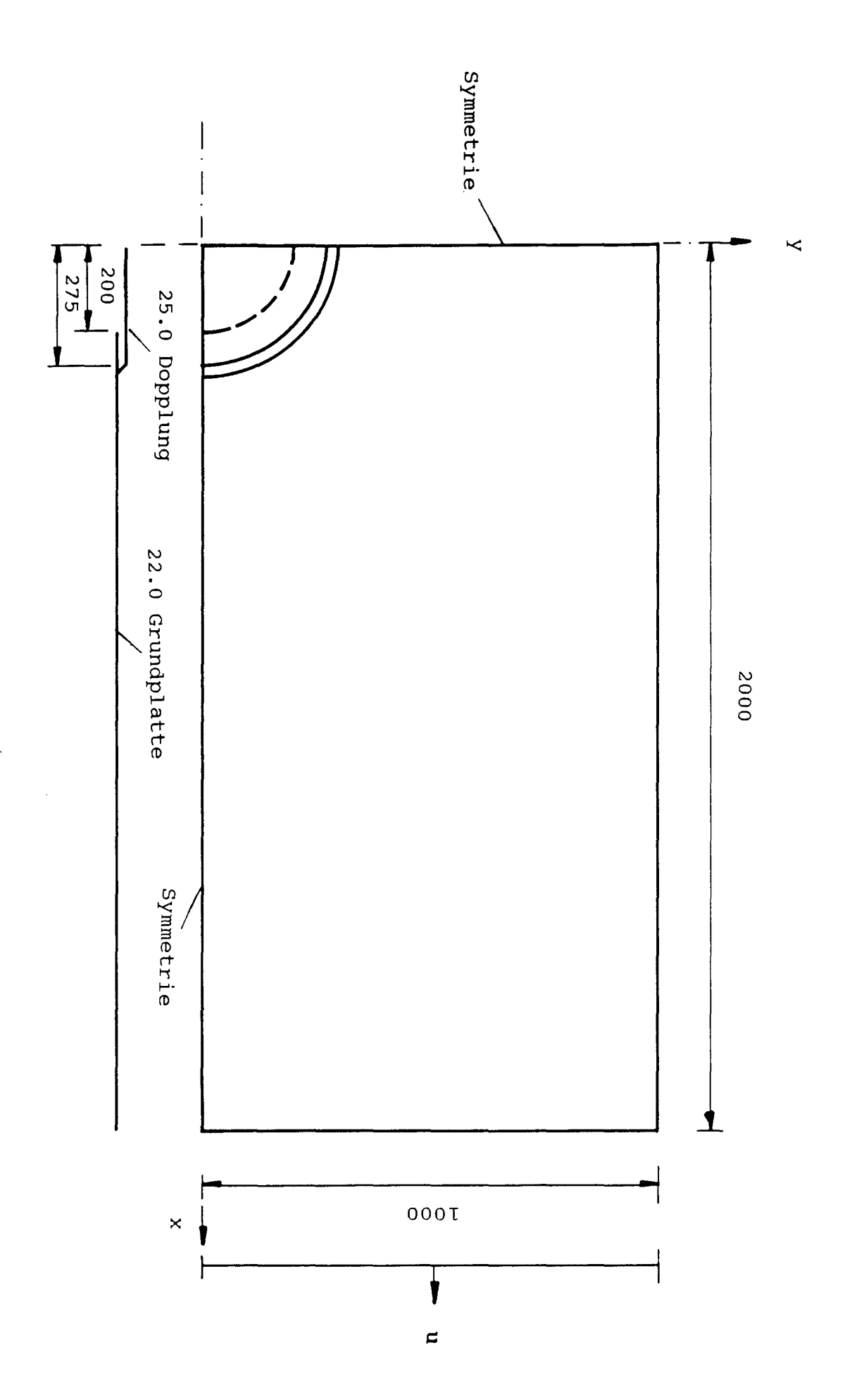
4.0E-4 1.9E-3 1.1E-2

7524

N<sub>Bi</sub>

 $S_i = N_{Bi}/N_{EVi}$ 

2 Lineare Schadensakkumulationsrechnung



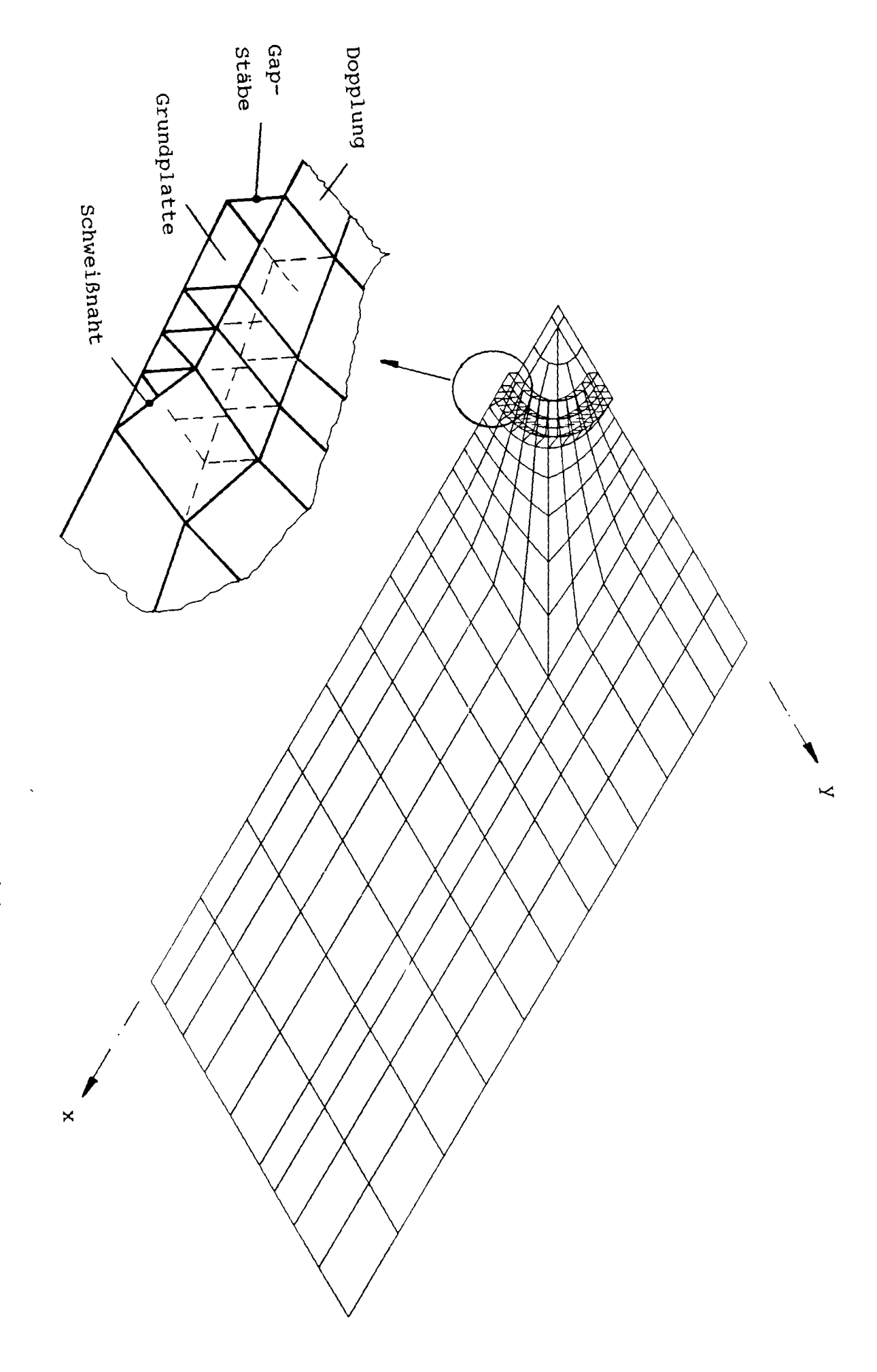
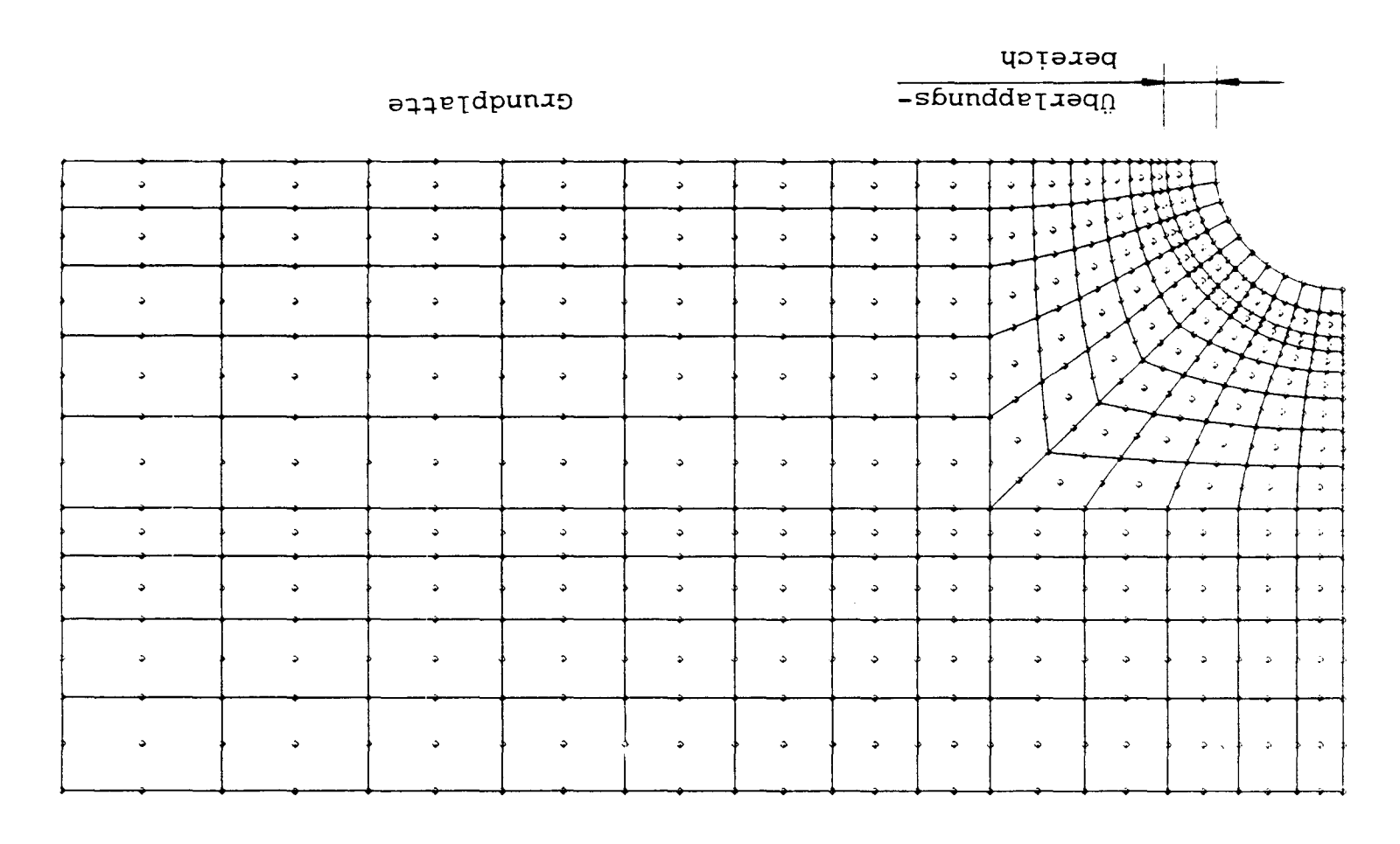
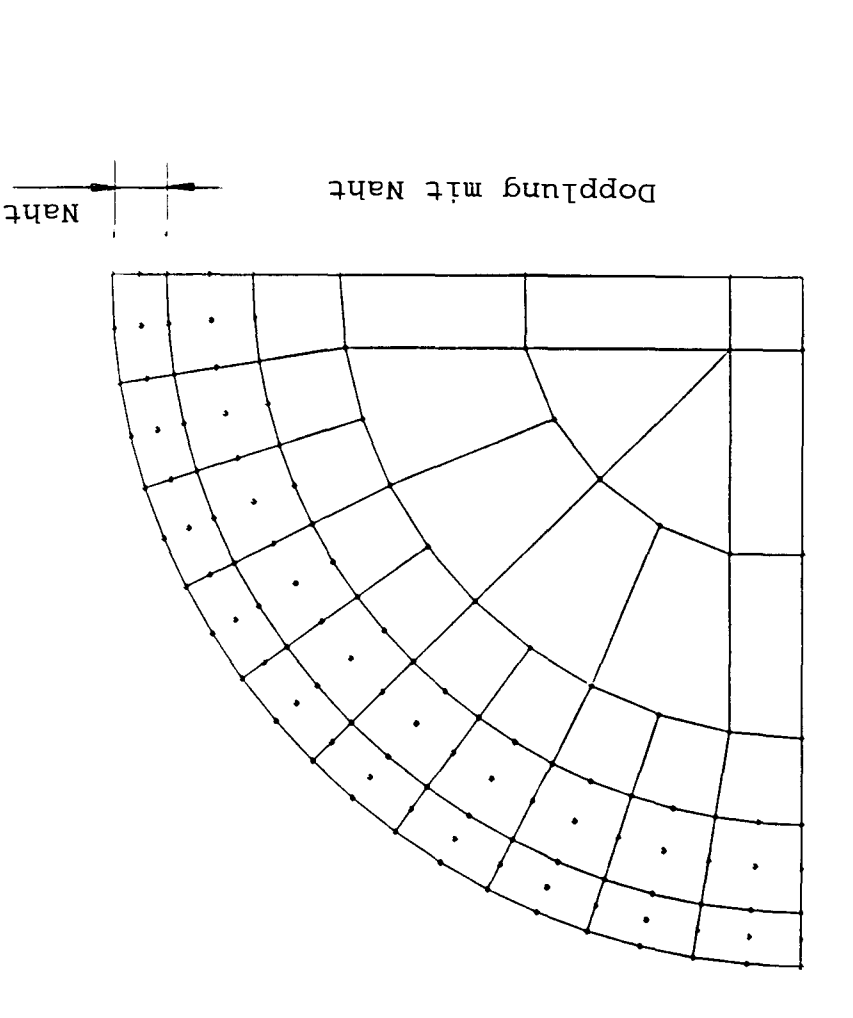


Bild 23 Finite - Element - Netz

## Bild 24 FE - Modell Draufsicht





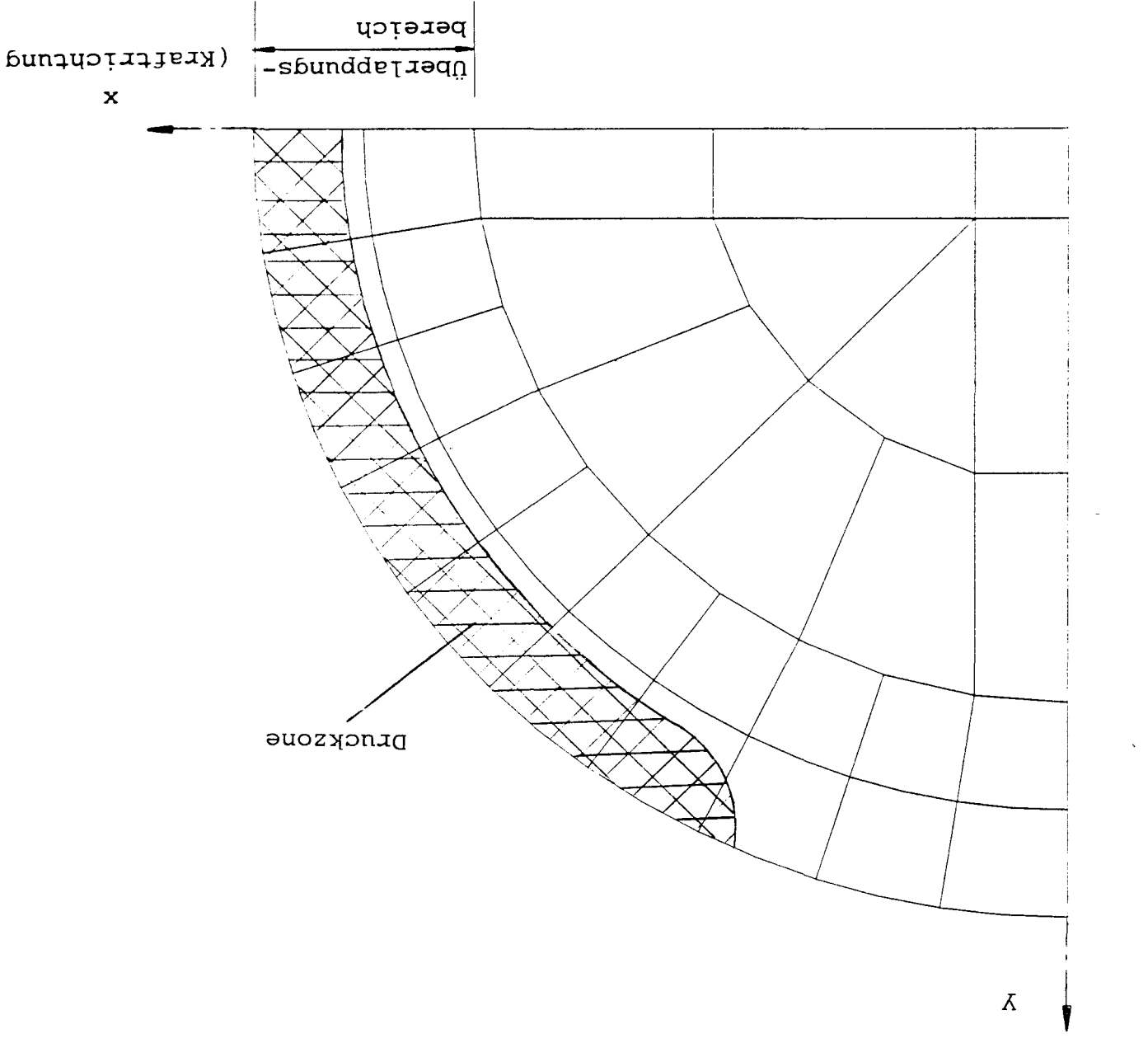
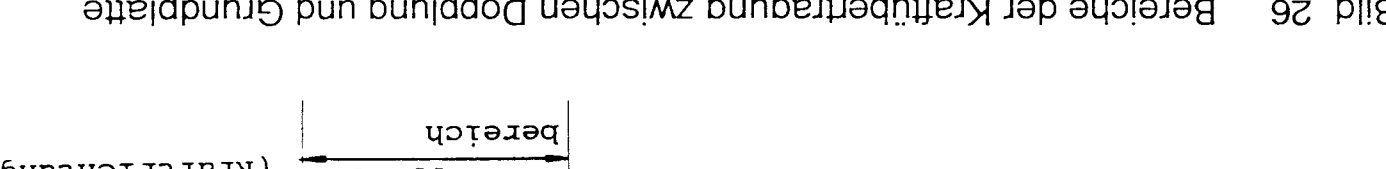
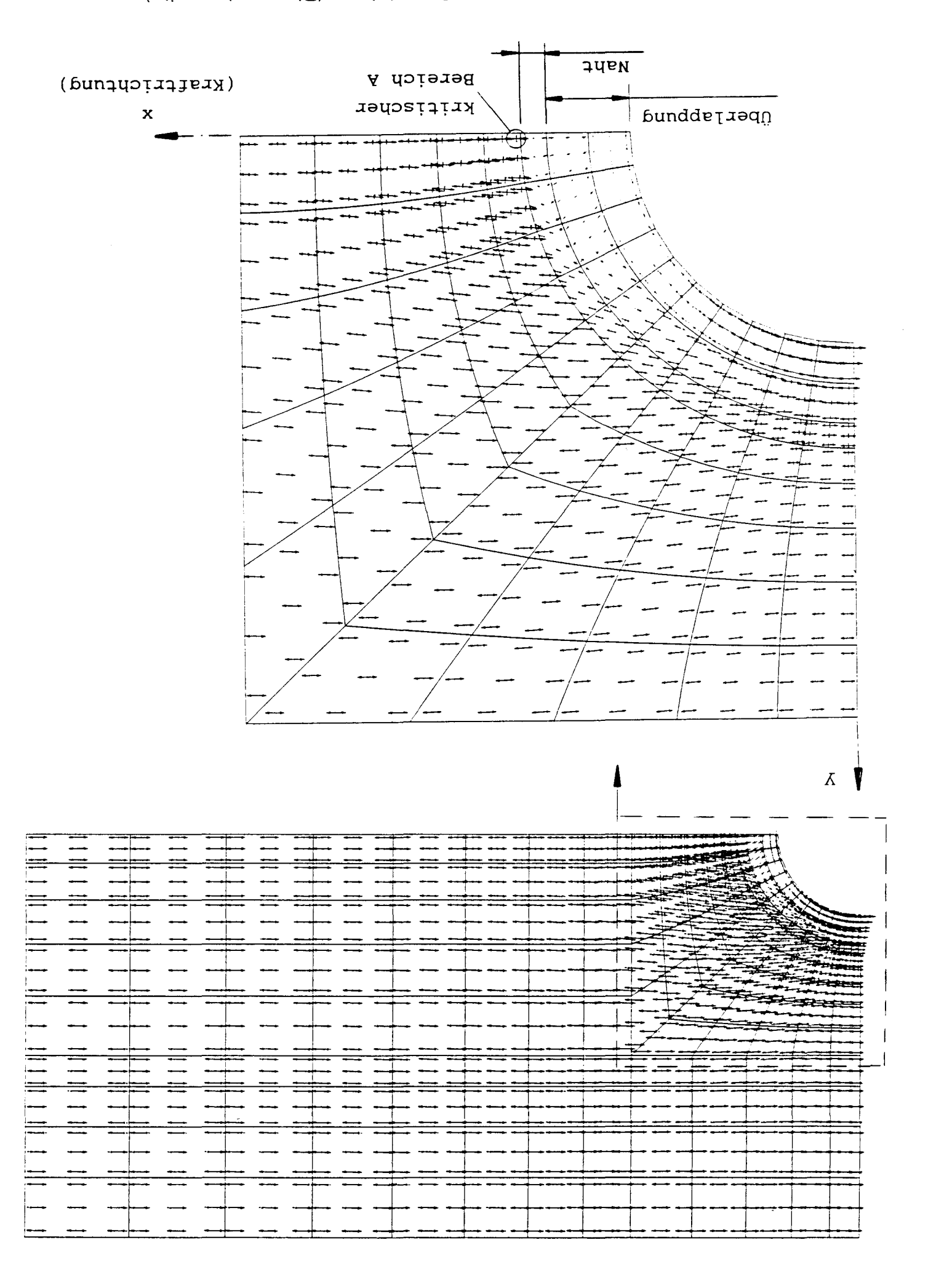
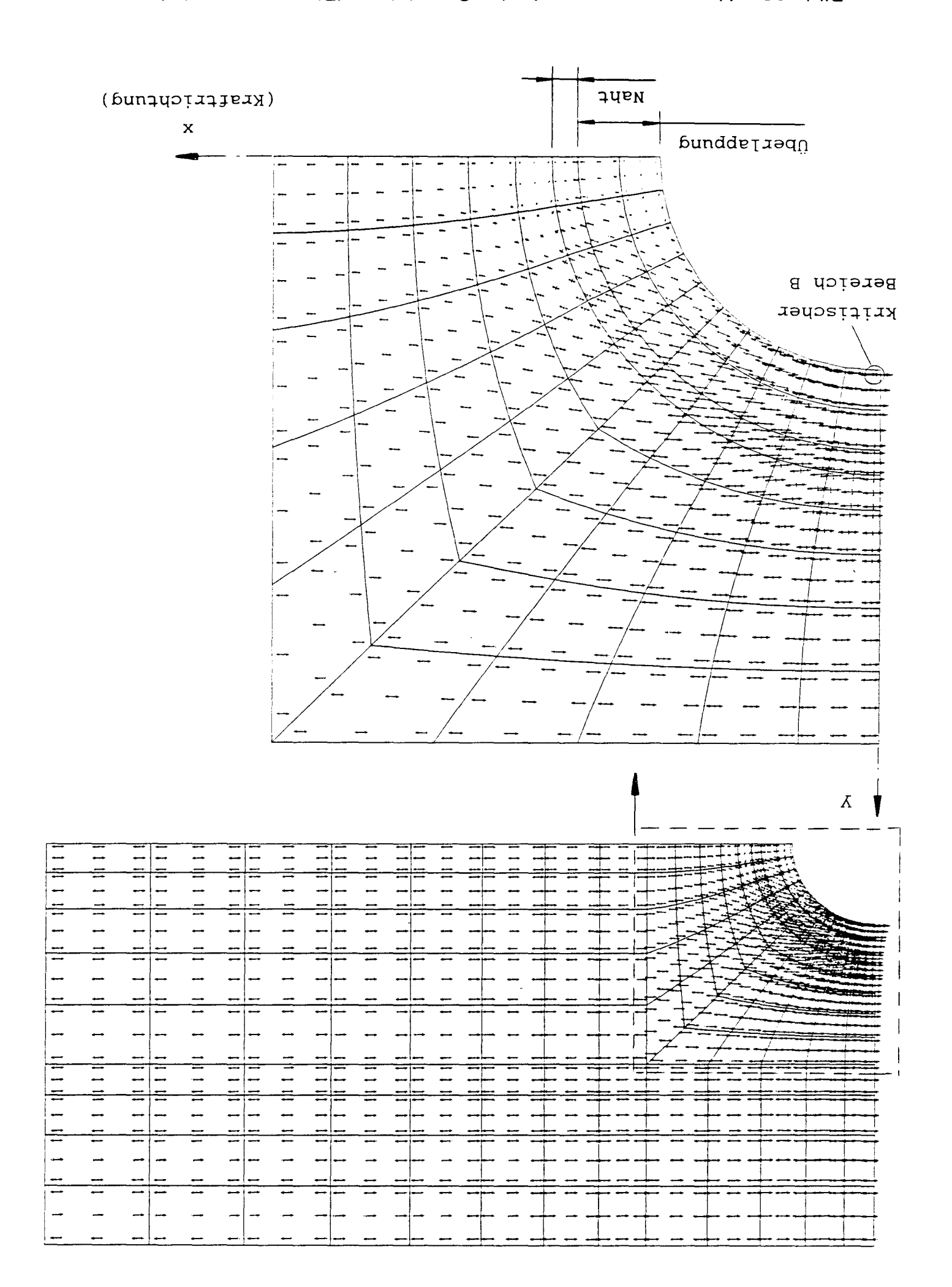
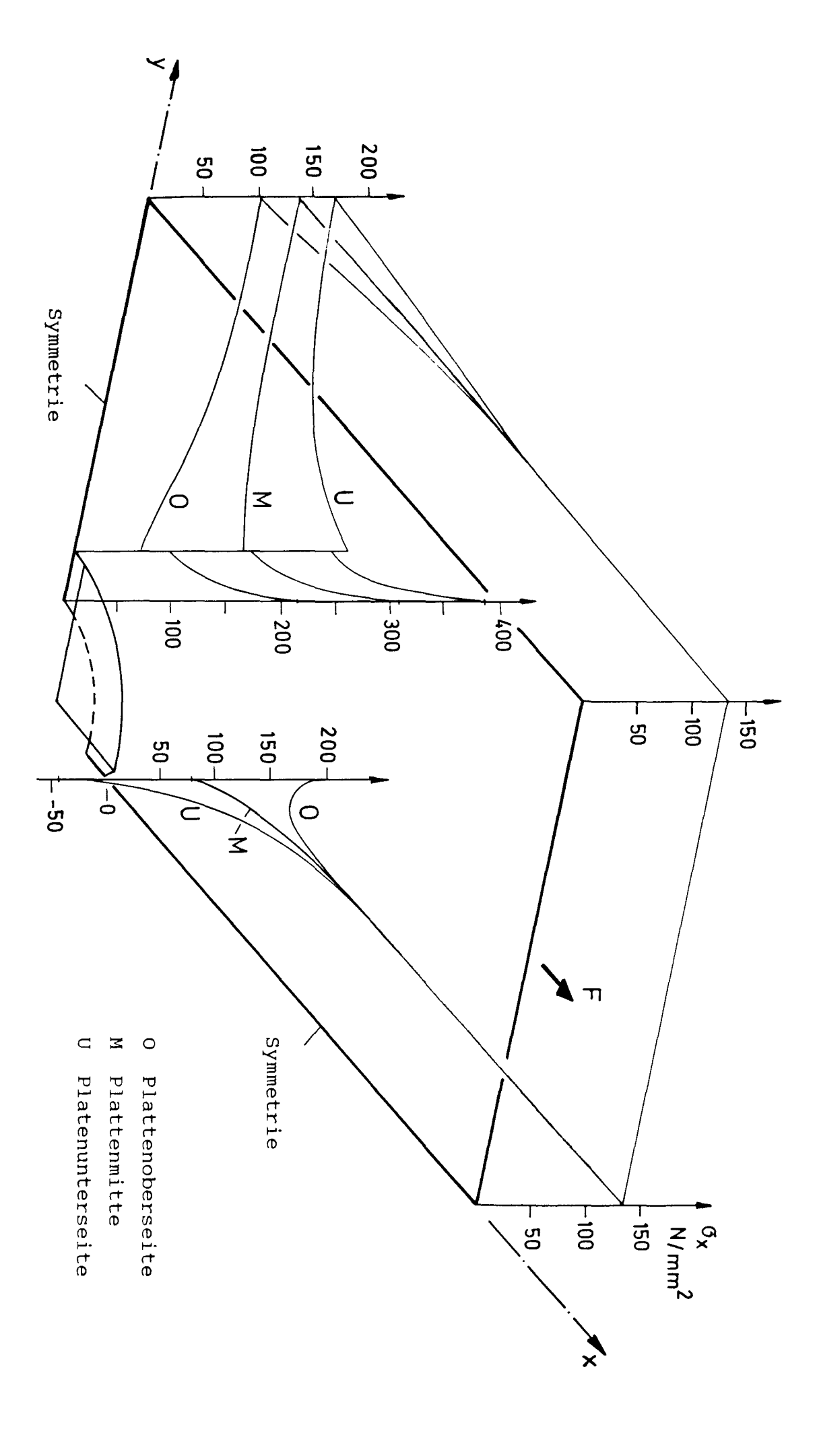


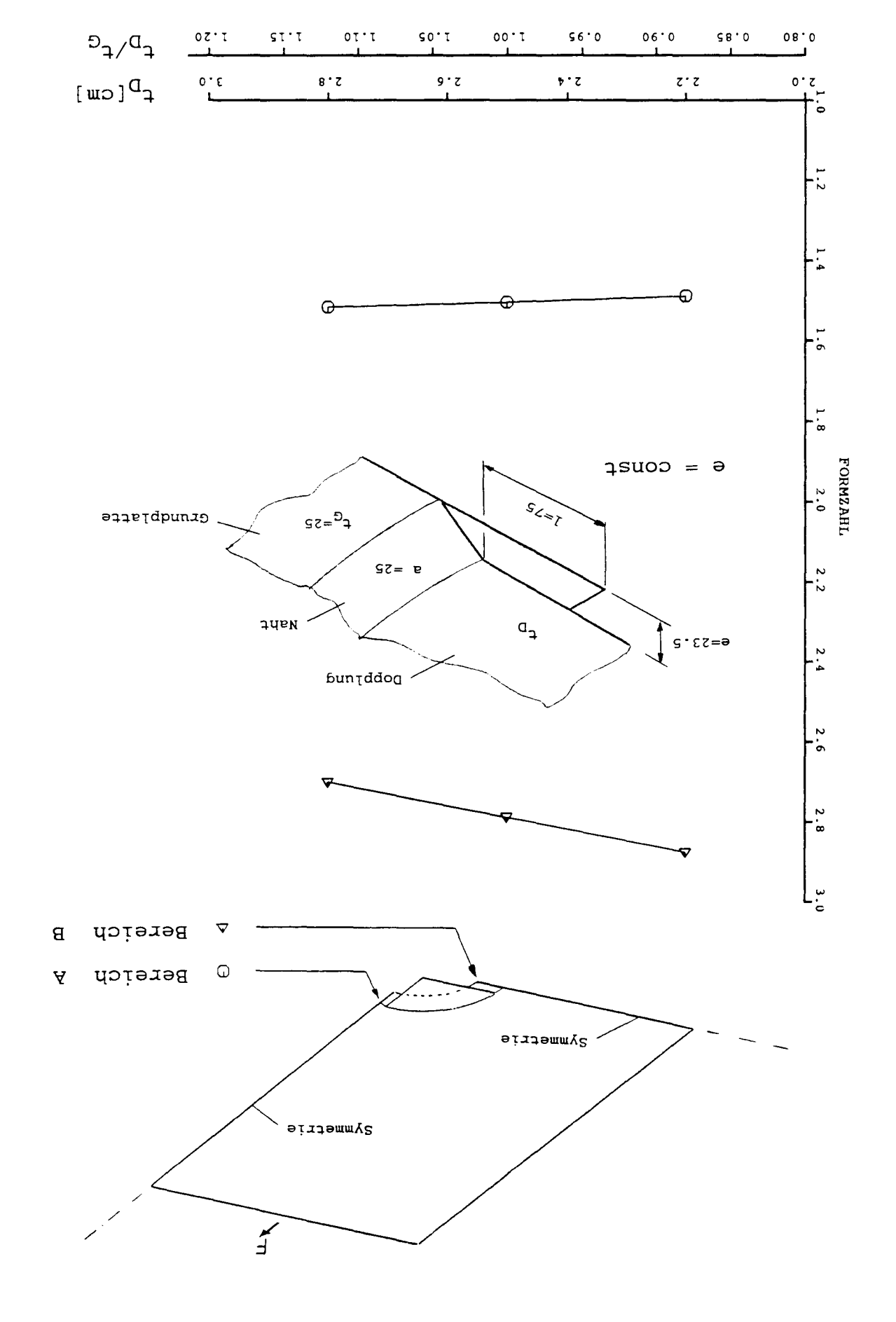
Bild 25 Spannings - Verhalten von Gap - Stäben











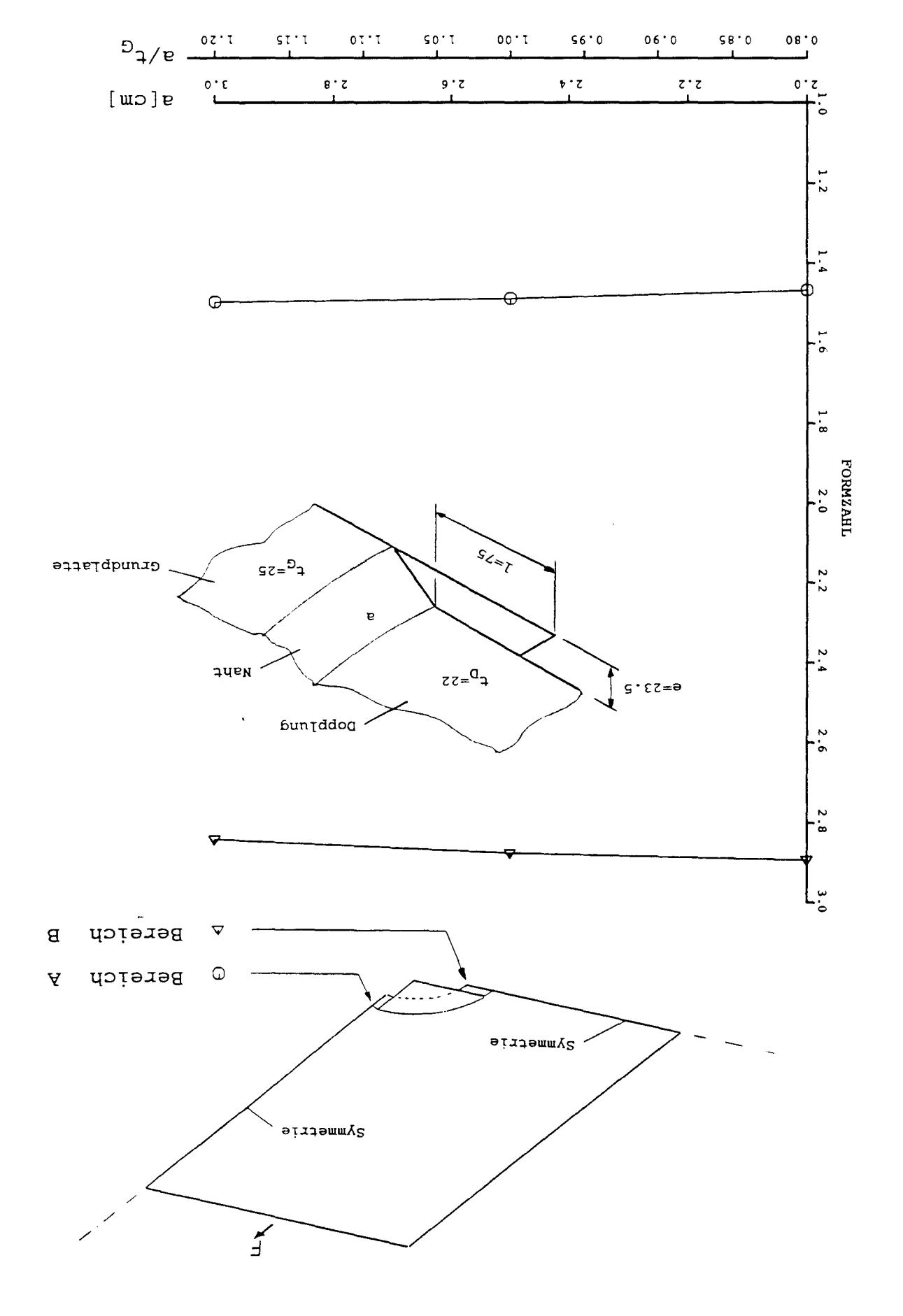
8.0

9:0

 $\epsilon^{\mathrm{D}} \backslash \epsilon^{\mathrm{G}}$ 

0.0

2.0



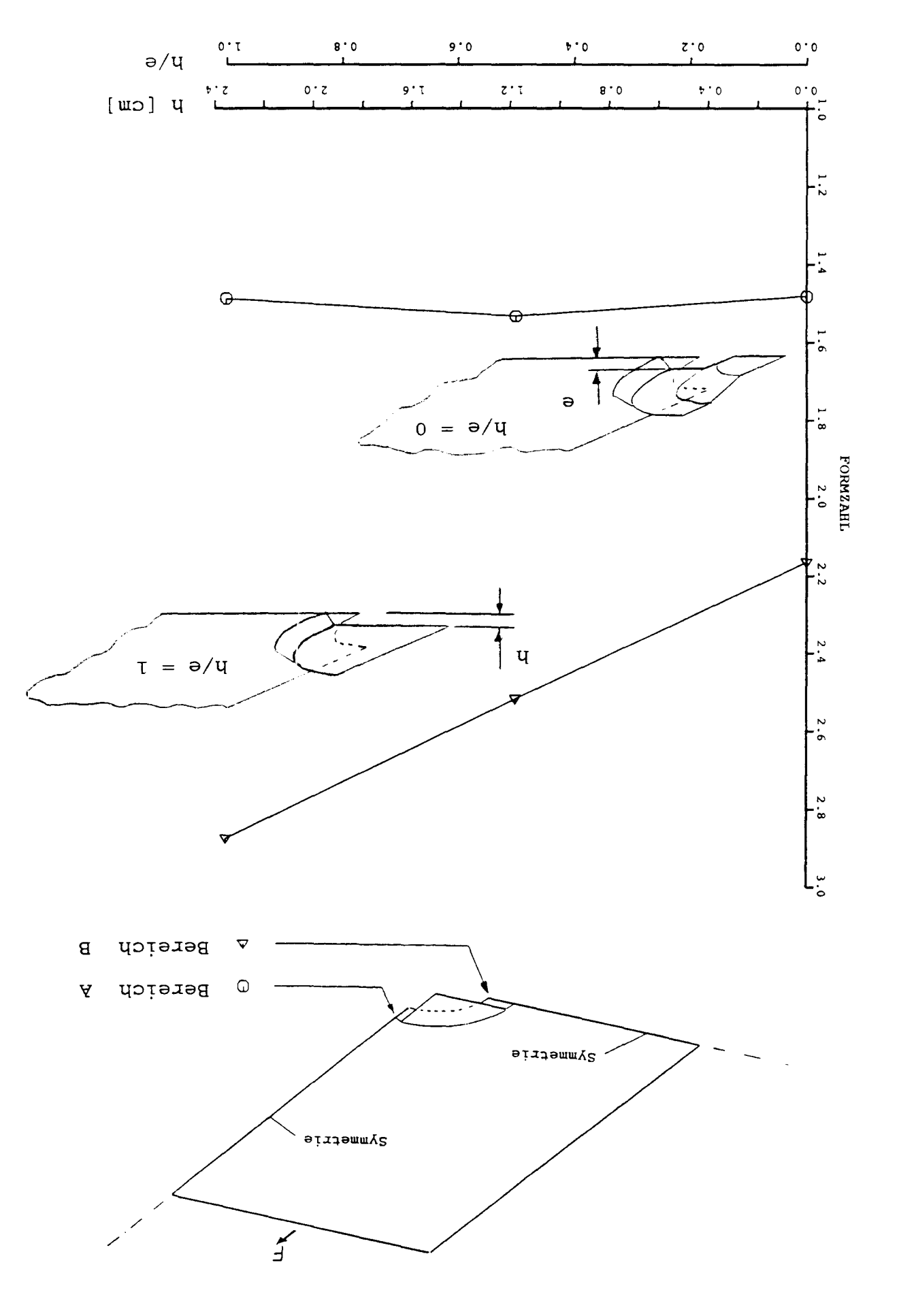


Bild 34 Formzahlen für eine Variation der Überlappungslänge

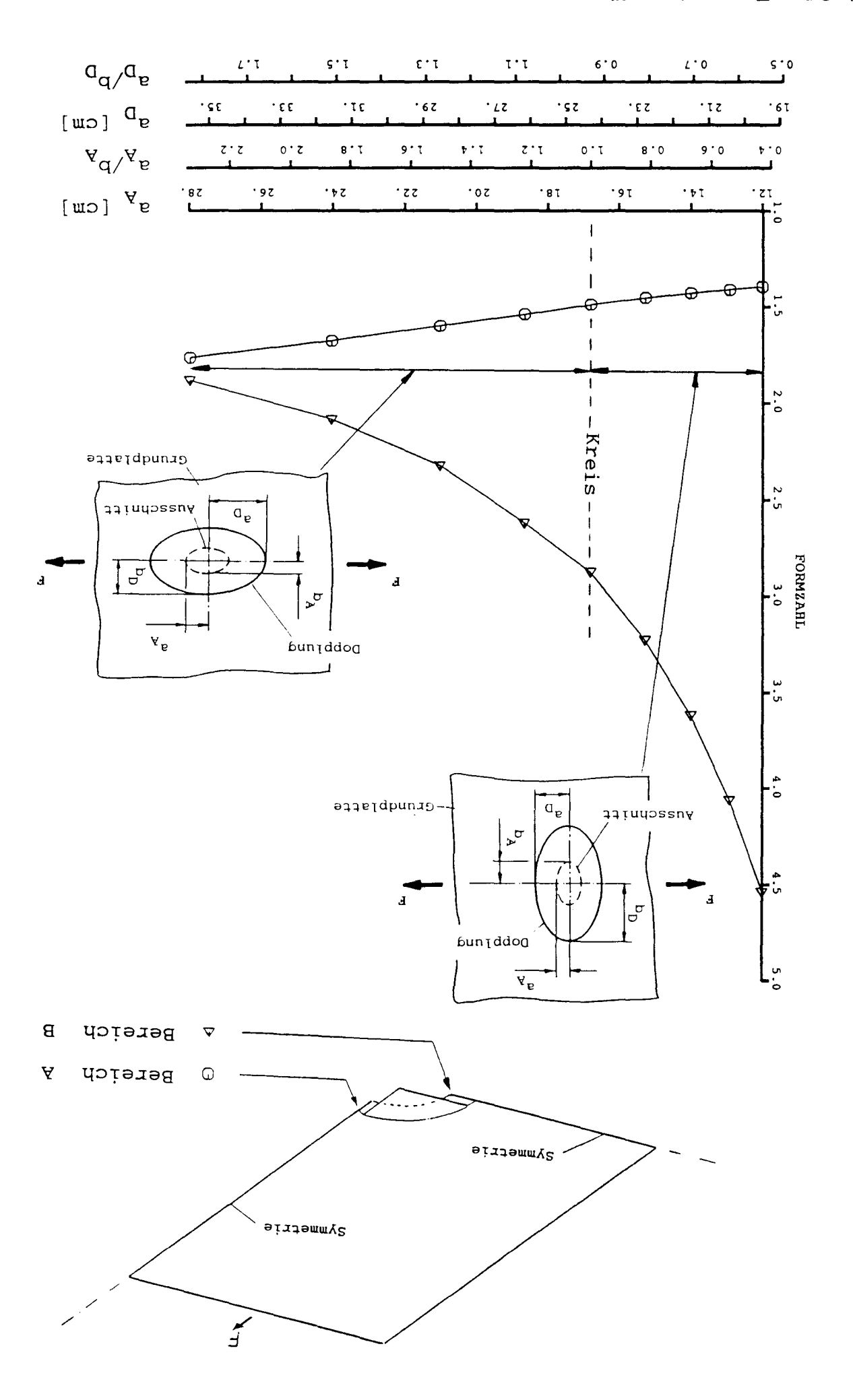
0.ε

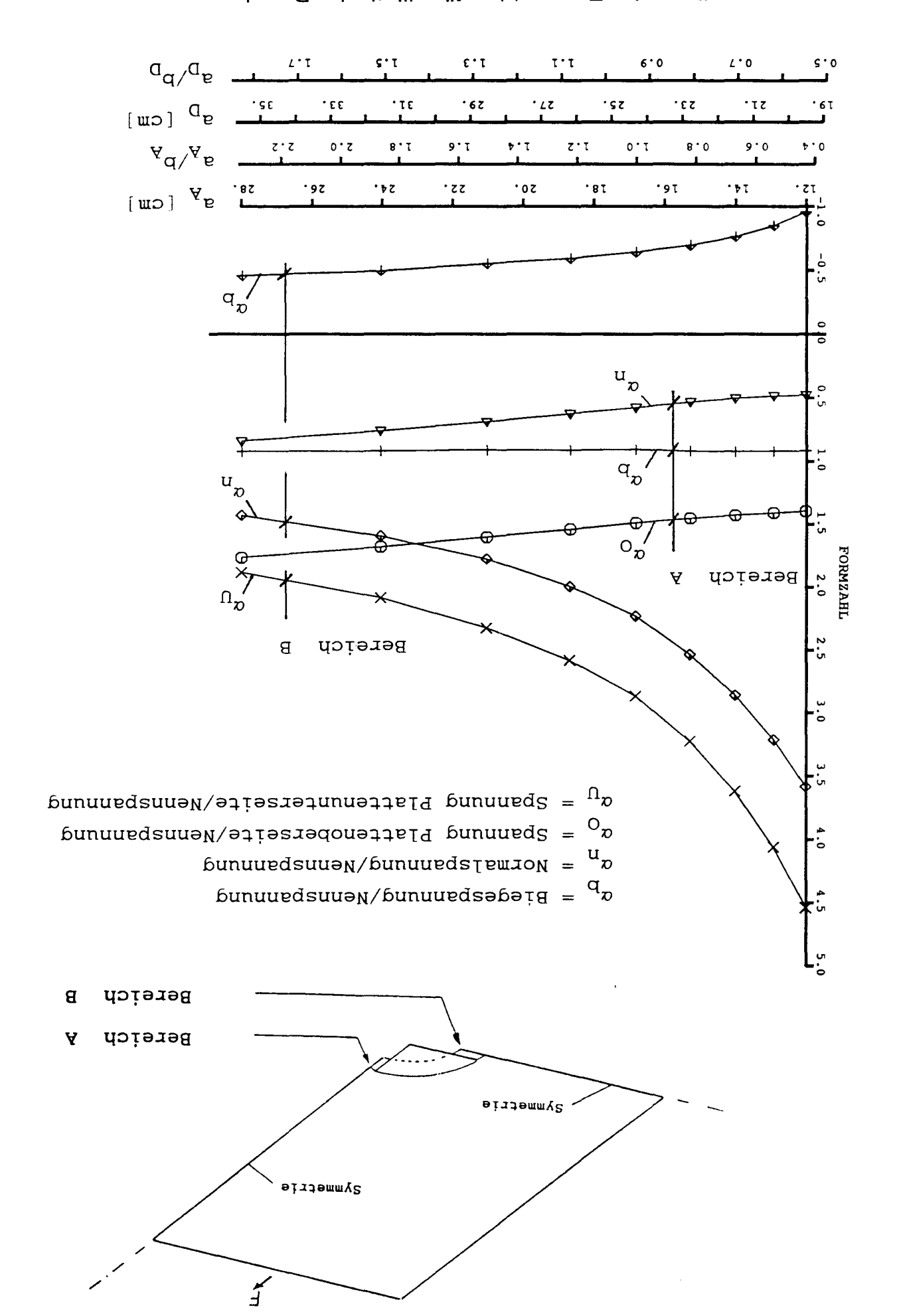
8.2

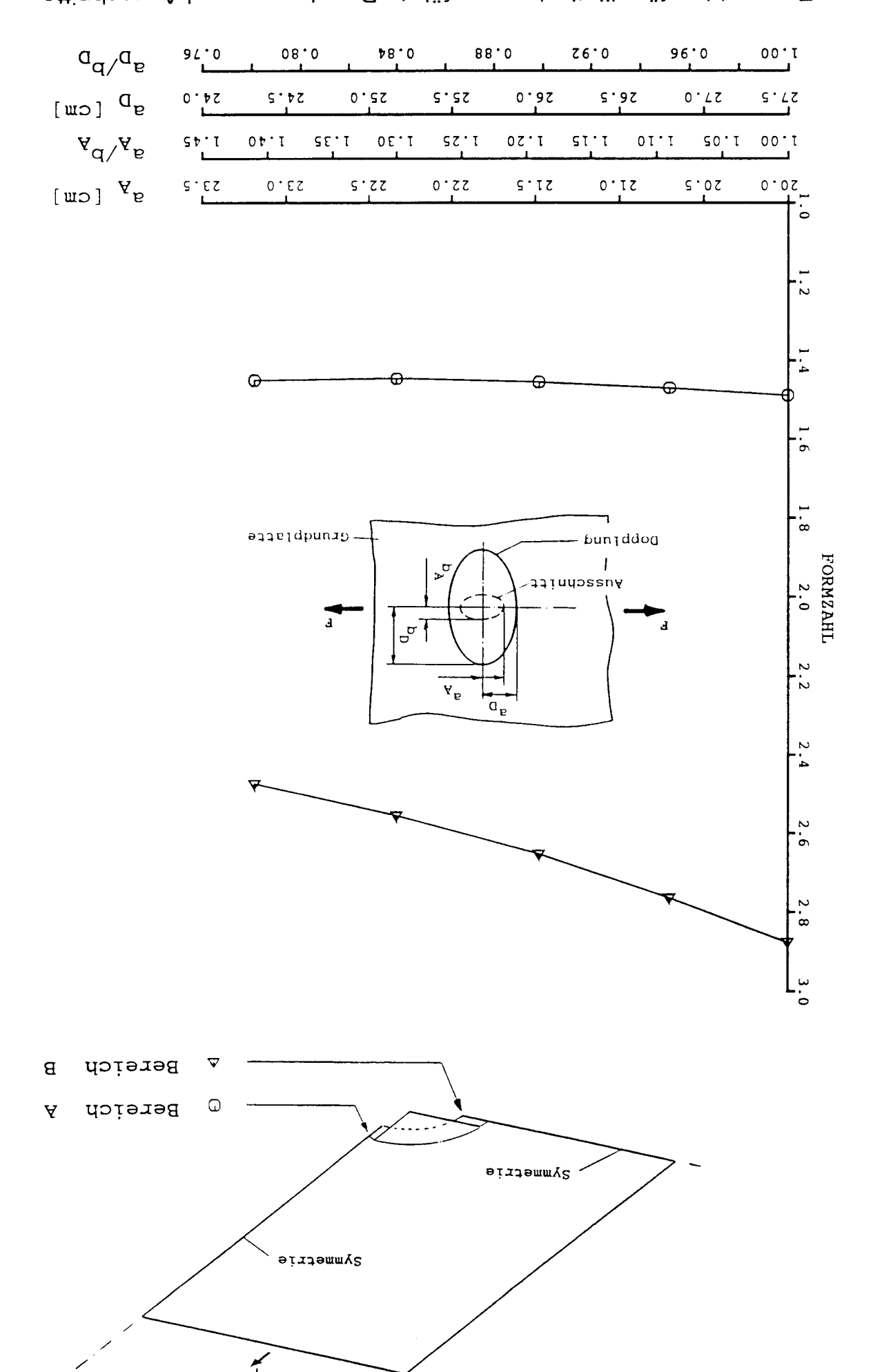
9.2

2.2

2.2







			21		Grundplatte
0	οο•ετ	00.8	£ Z L	12	Dopplung
77	21.61	94.9	ŧ		
9 <del>1</del>	00	05.8	ε		
99	82.12	10.25	7	)	
06	00.21	12.00	τ	<del></del>	-
Wahtflanken- winkel [°]	R [mm]	g,[mm]	Иг.		

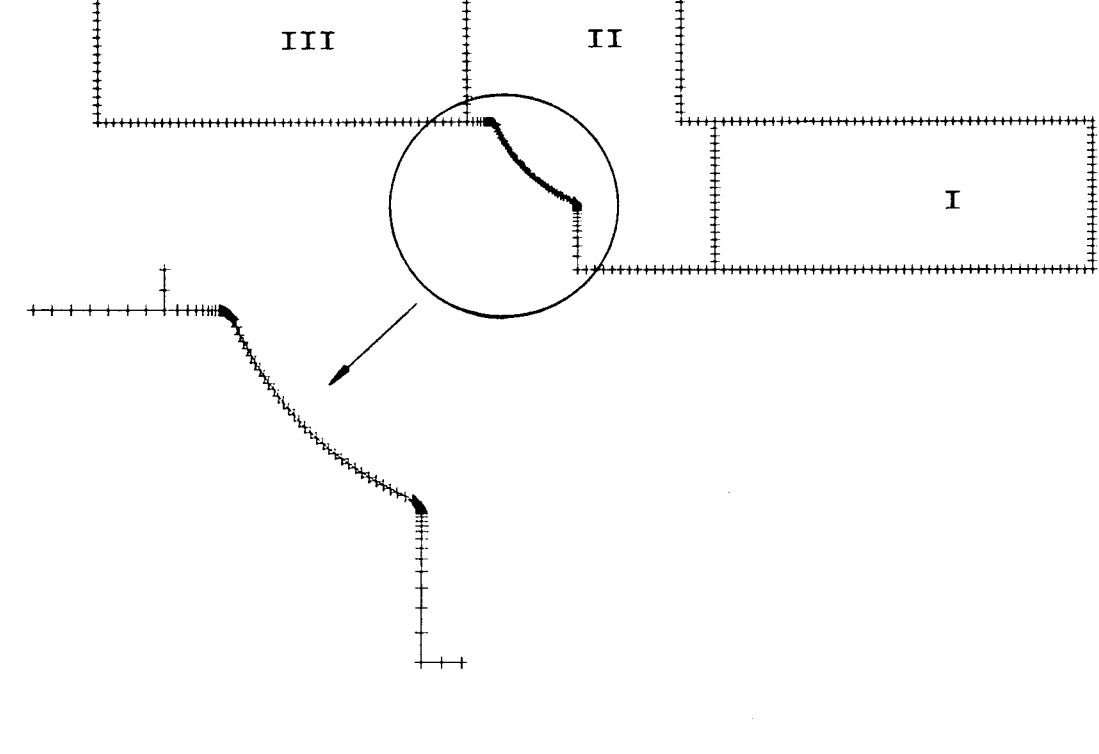


Bild 39 Rechenmodell, Randbedingungen

τς

pobbynud

97

Grundplatte

89

Anrispunkt

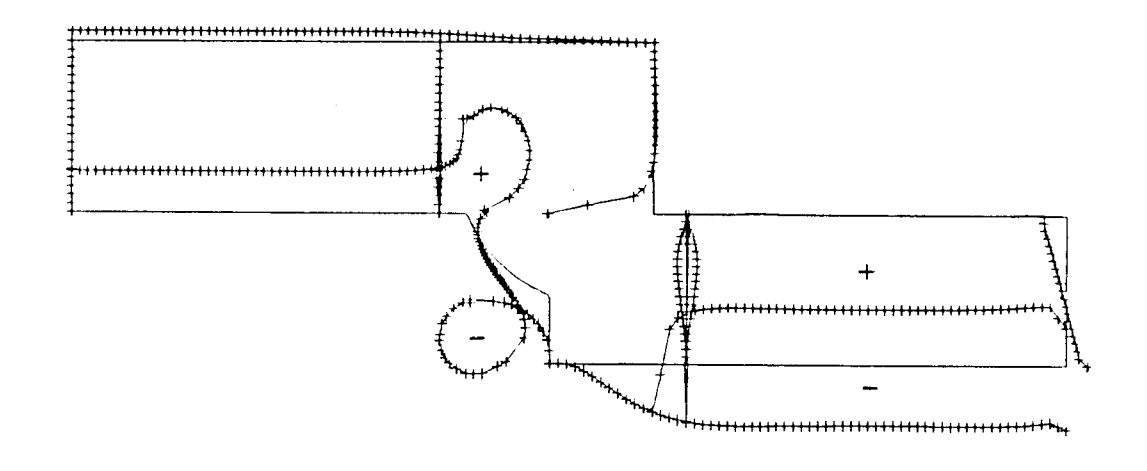


Bild 42 Normalspannungen senkrecht zur Kontur

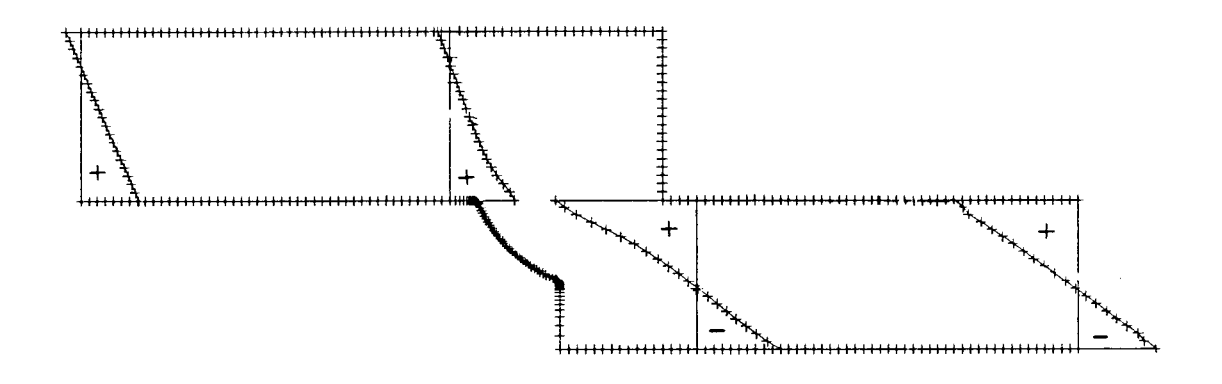
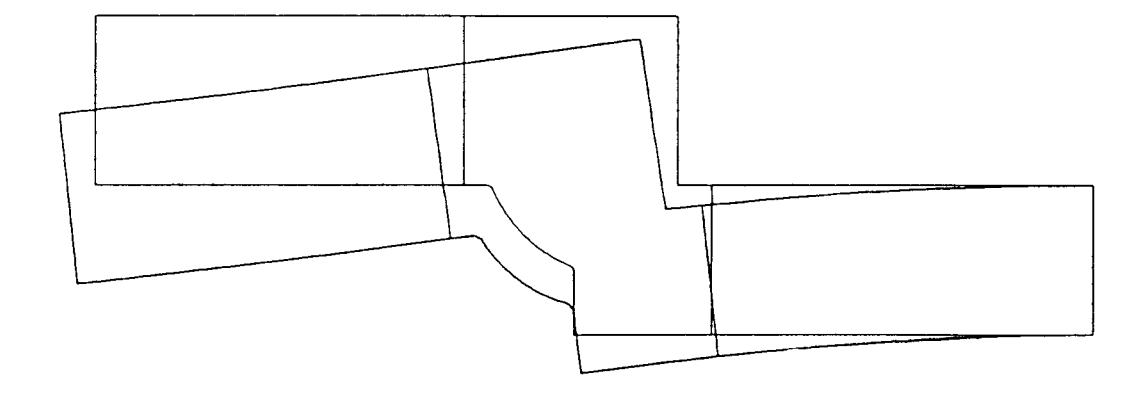


Bild 41 Verformungen



## Bild 45 Abminderungsfaktoren der Schwingfestigkeit Kf

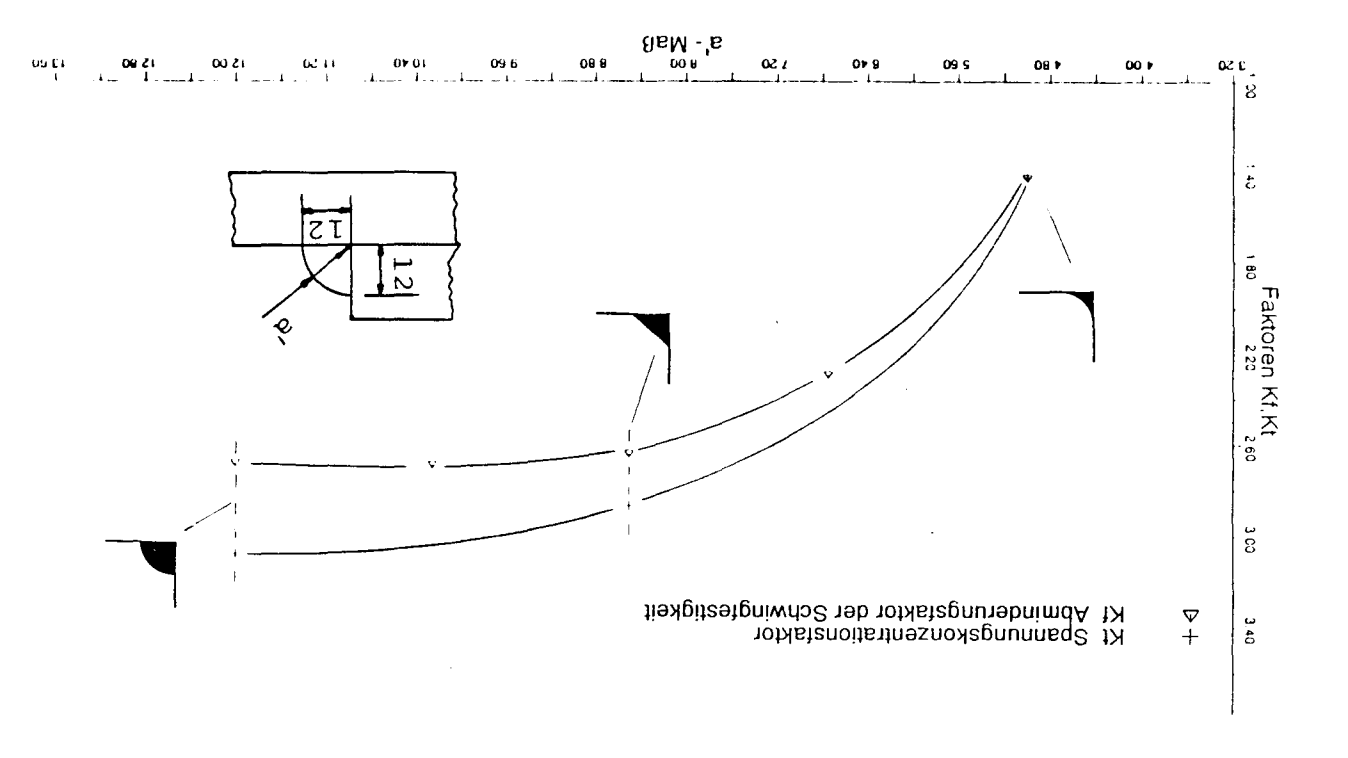
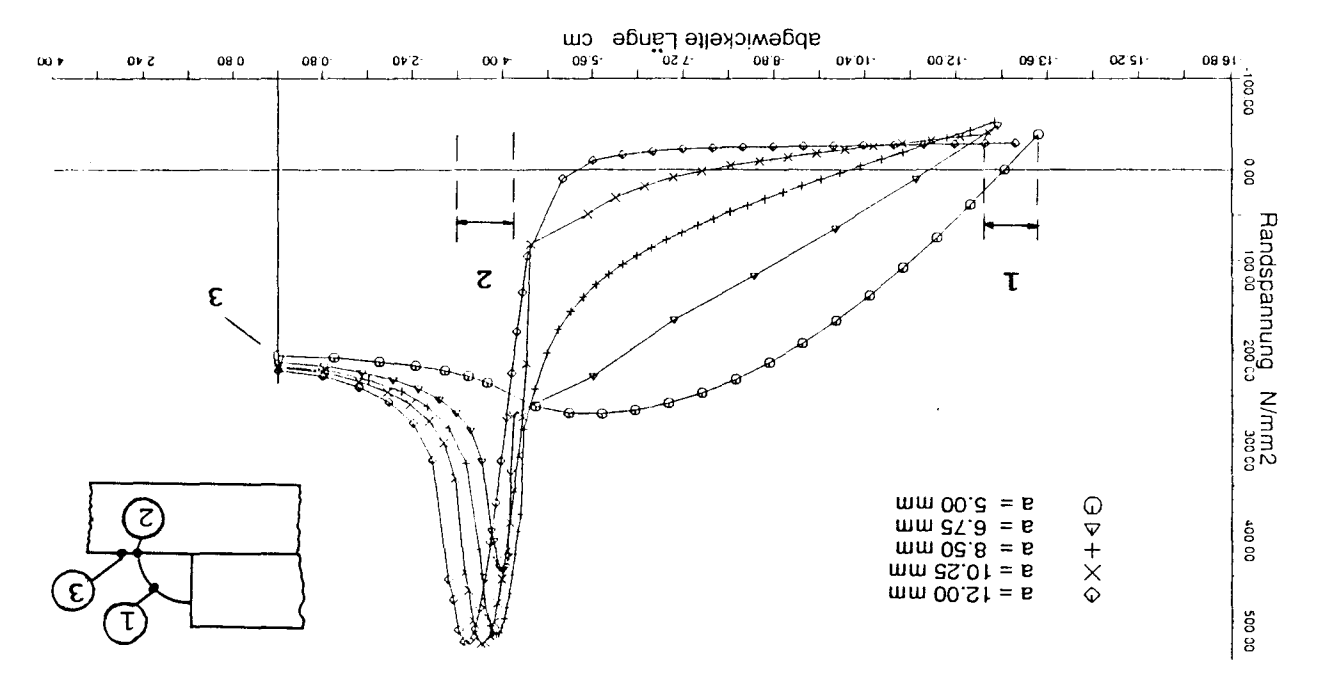


Bild 44 Tangentialspannungsverlauf bei unterschiedlichen Nahtformen



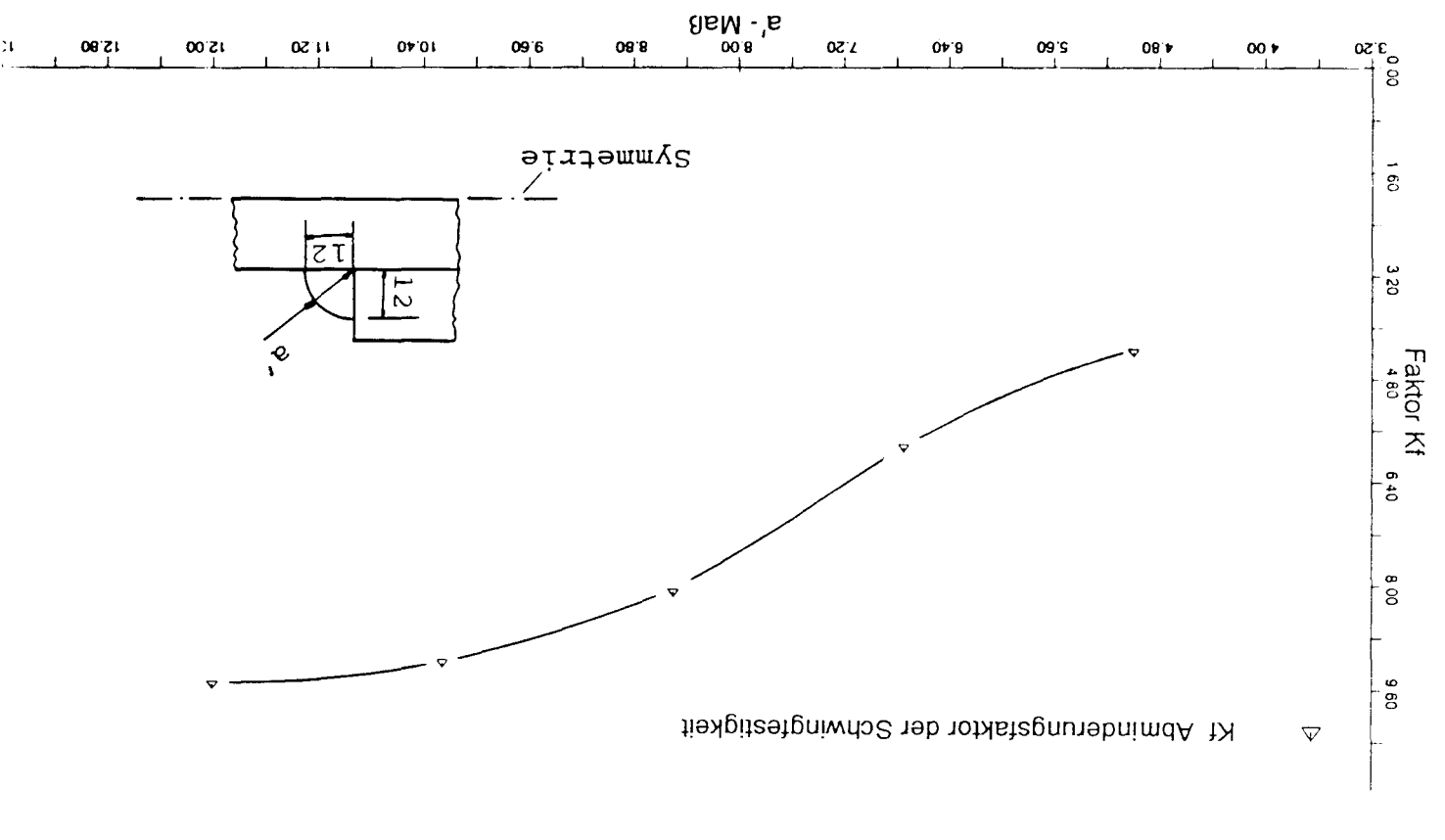


Bild 47 Doppelmodell Mormalspannungen entlang der Kontur (Tangentialspannungen)

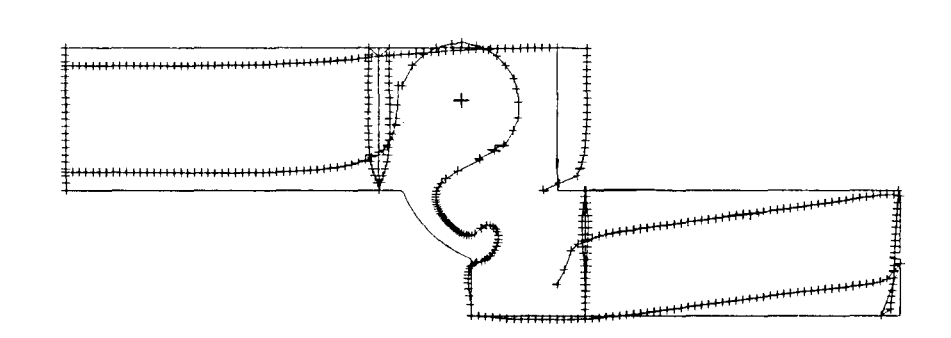
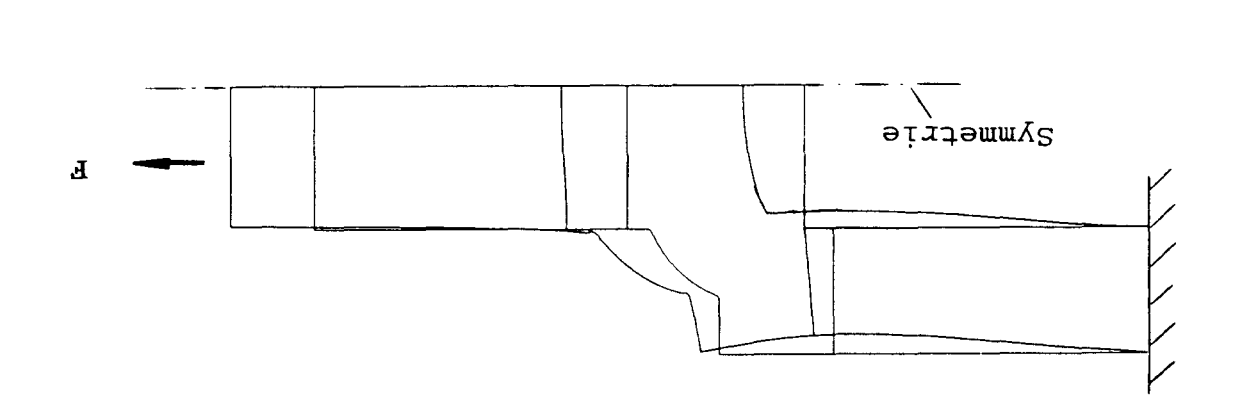


Bild 46 Doppelmodell Randbedingungen und Verformungen



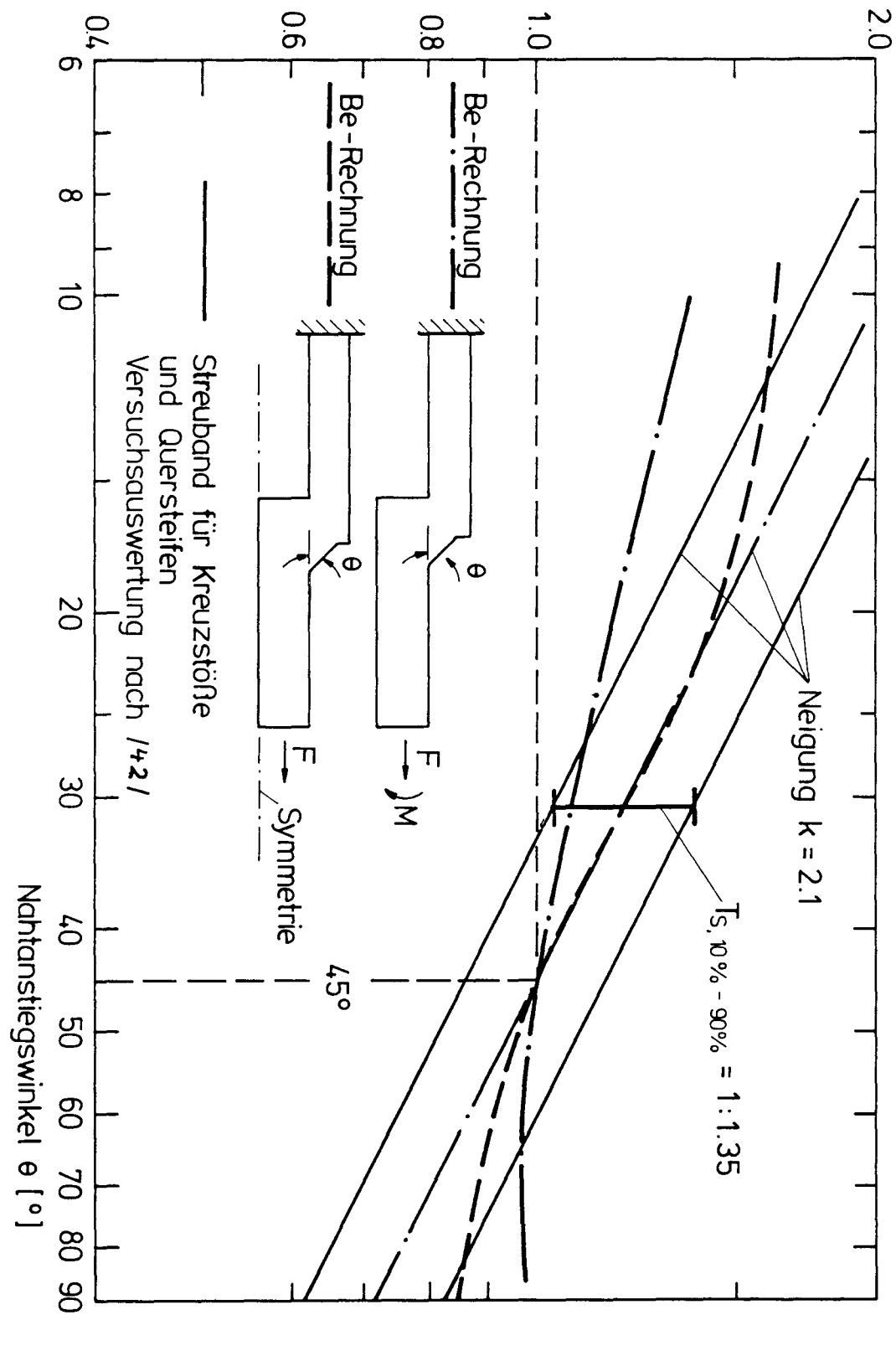


Bild 49 Einfluß des Nahtanstiegswinkel auf die Schwingfestigkeit